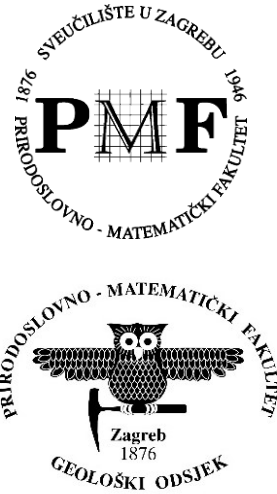


# Mineralogija

Sveučilišni prijediplomski studij Znanosti o okolišu – 1. godina (253566)

doc. dr. sc. Petra Schneider

akad. god. 2024./25.



## Sadržaj

### XRD – rendgenska difrakcijska analiza

- Rendgenske zrake
- Nastanak rendgenskih zraka
- Izvori rendgenskih zraka
- Difrakcija X-zraka na kristalu
- Braggov zakon
- XRD analiza na monokristalu
- XRD analiza na prahu
- Difraktogram
- Upotrebe XRD analize na prahu

### Elektronska mikroskopija

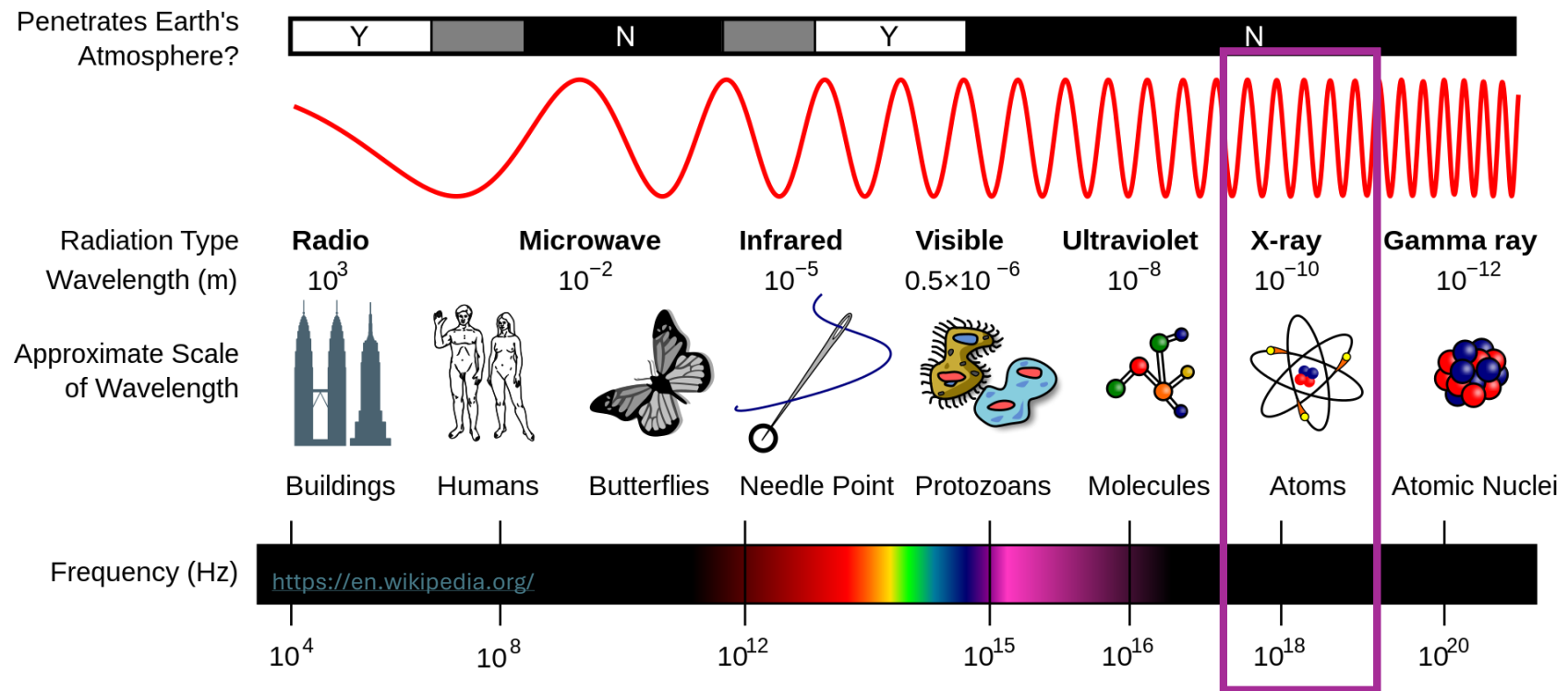
- SEM
- TEM, HRTEM
- EPMA

### XRF – rendgenska fluorescencijska spektrometrija „Mokra kemija”

# Rendgenske zrake

## Otkriće rendgenskih (X-) zraka

- Wilhelm Conrad Röntgen (1895.)
- Max von Laue (1912.) – istraživanje kristala upotrebom X-zračenja:  
→ Koji će biti učinak upotrebe elektromagnetskih valova koji imaju valnu duljinu otprilike jednaku udaljenosti među atomima?
- William Henry Bragg & William Lawrence Bragg (1914.) – riješena prva kristalna struktura (NaCl)



elektromagnetski valovi  
 $\lambda = 0,01\text{--}10 \text{ nm} = 0,1\text{--}100 \text{ \AA}$   
 $E = 0,1\text{--}100 \text{ keV} = 100\text{--}100.000 \text{ eV}$

$$E [\text{keV}] = \frac{12,4}{\lambda [\text{\AA}]}$$



$$\lambda [\text{\AA}] = \frac{12,4}{E [\text{keV}]}$$

# Nastanak rendgenskog zračenja

**Kako nastaje rendgensko zračenje?**

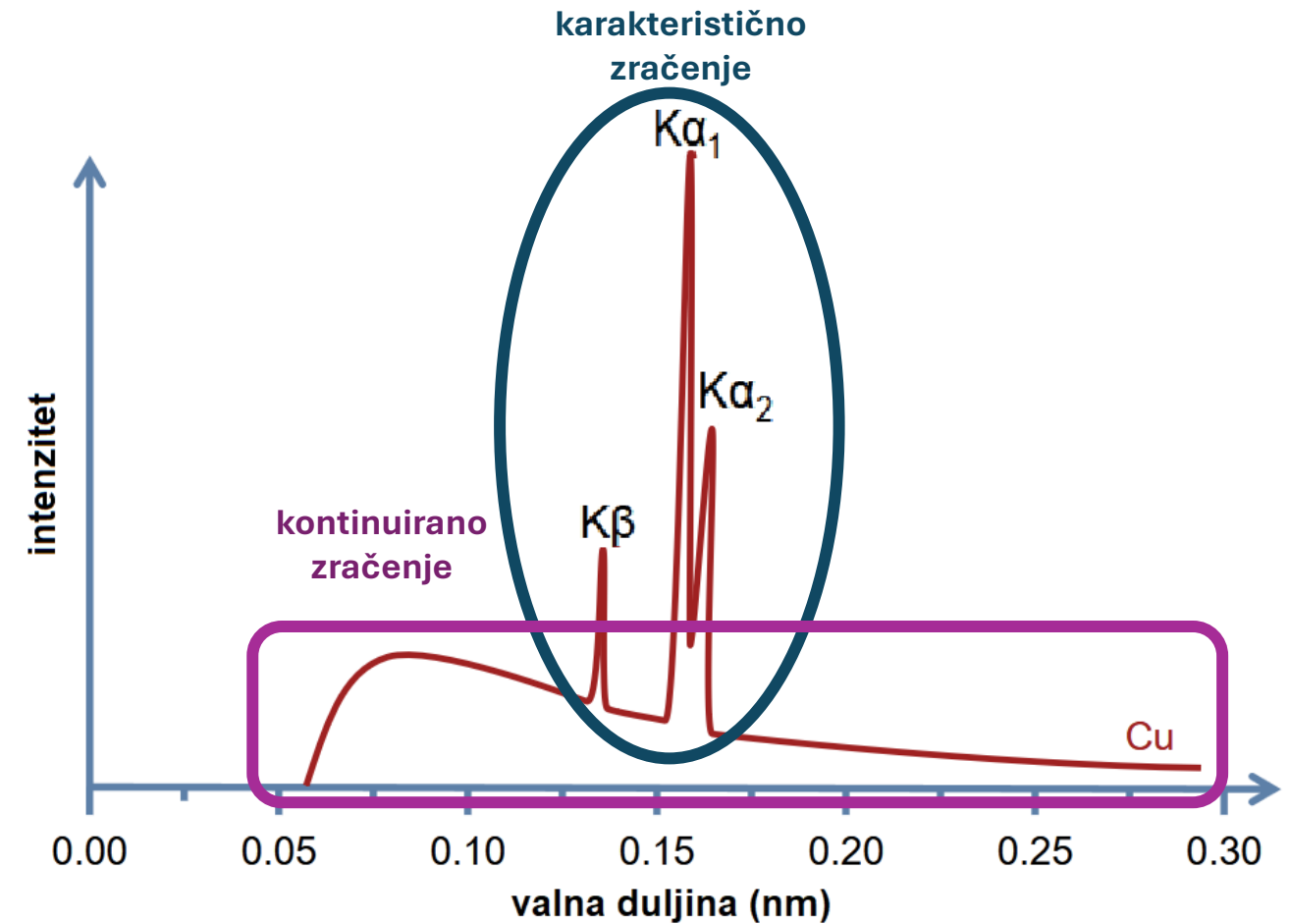
→ bombardiranje materije elektronima

- **karakteristično** (sekundarno, fluorescentno)\* zračenje

→ XRF (rendgenska fluorescentna analiza = metoda kemijske analize)

\* smetnja kod XRD metode jer pojačava šum (*background*)

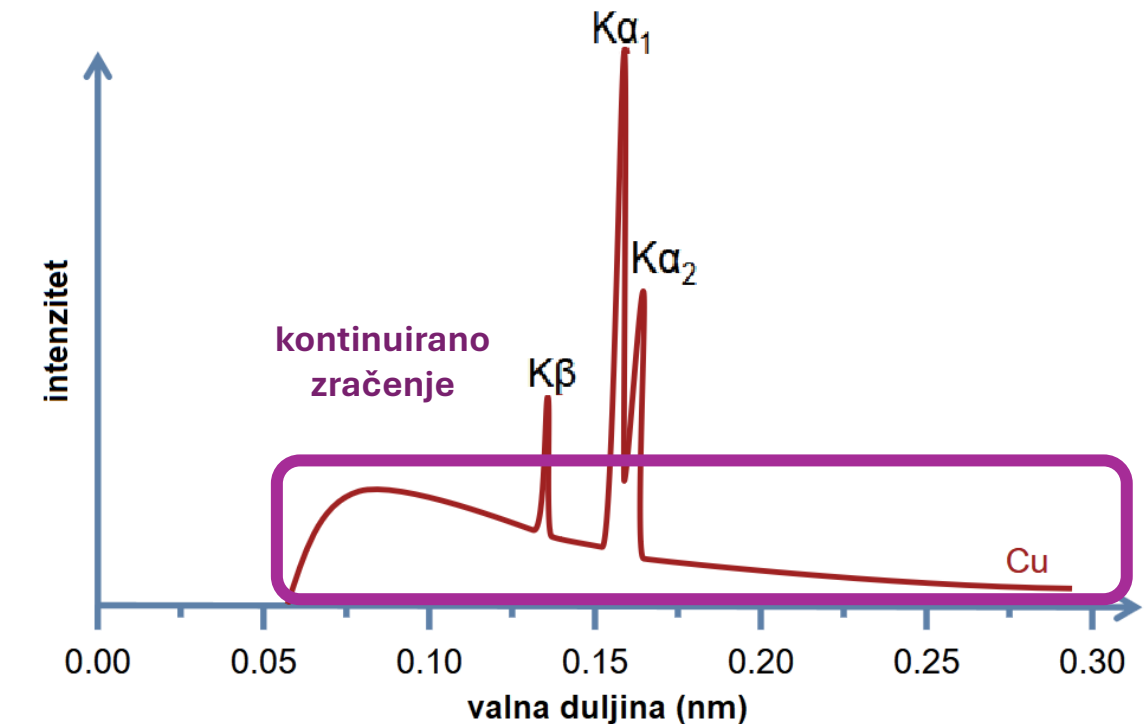
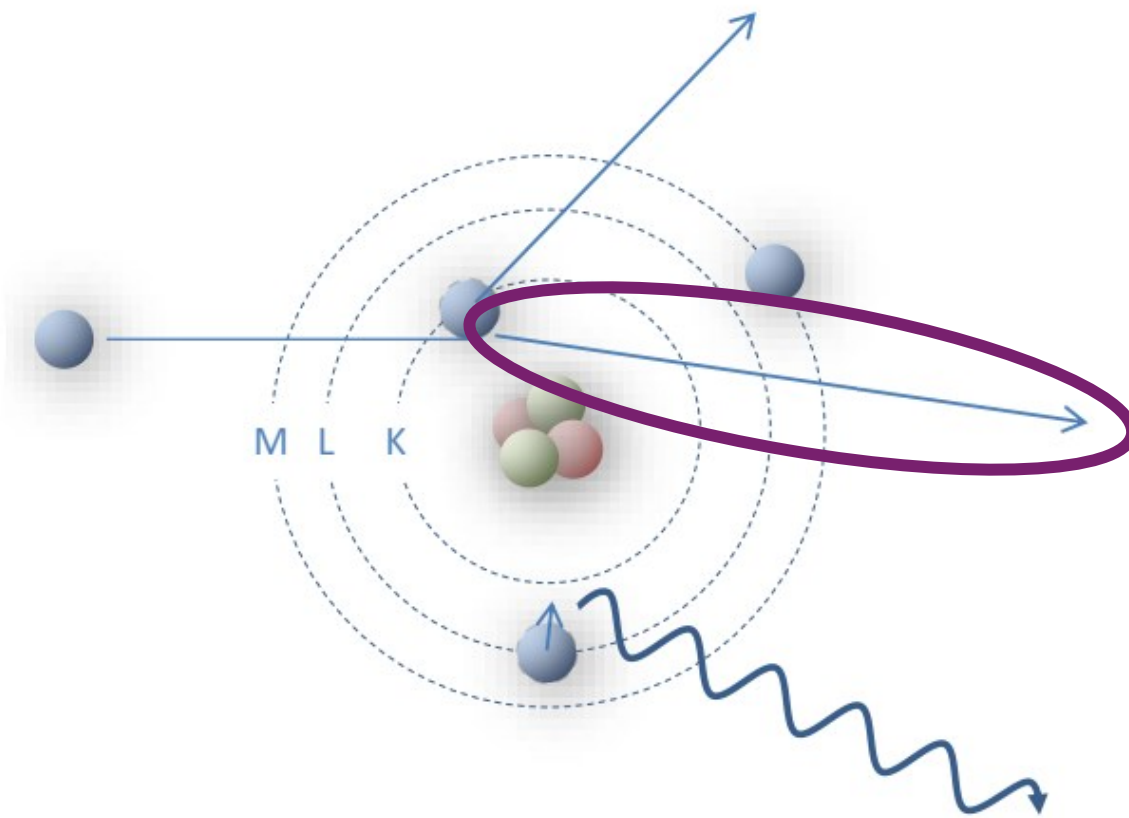
- **kontinuirano** (zakočno, bijelo) zračenje



Döbelin (2024), <https://www.profex-xrd.org/lecture-handouts/>

## Nastanak rendgenskog zračenja

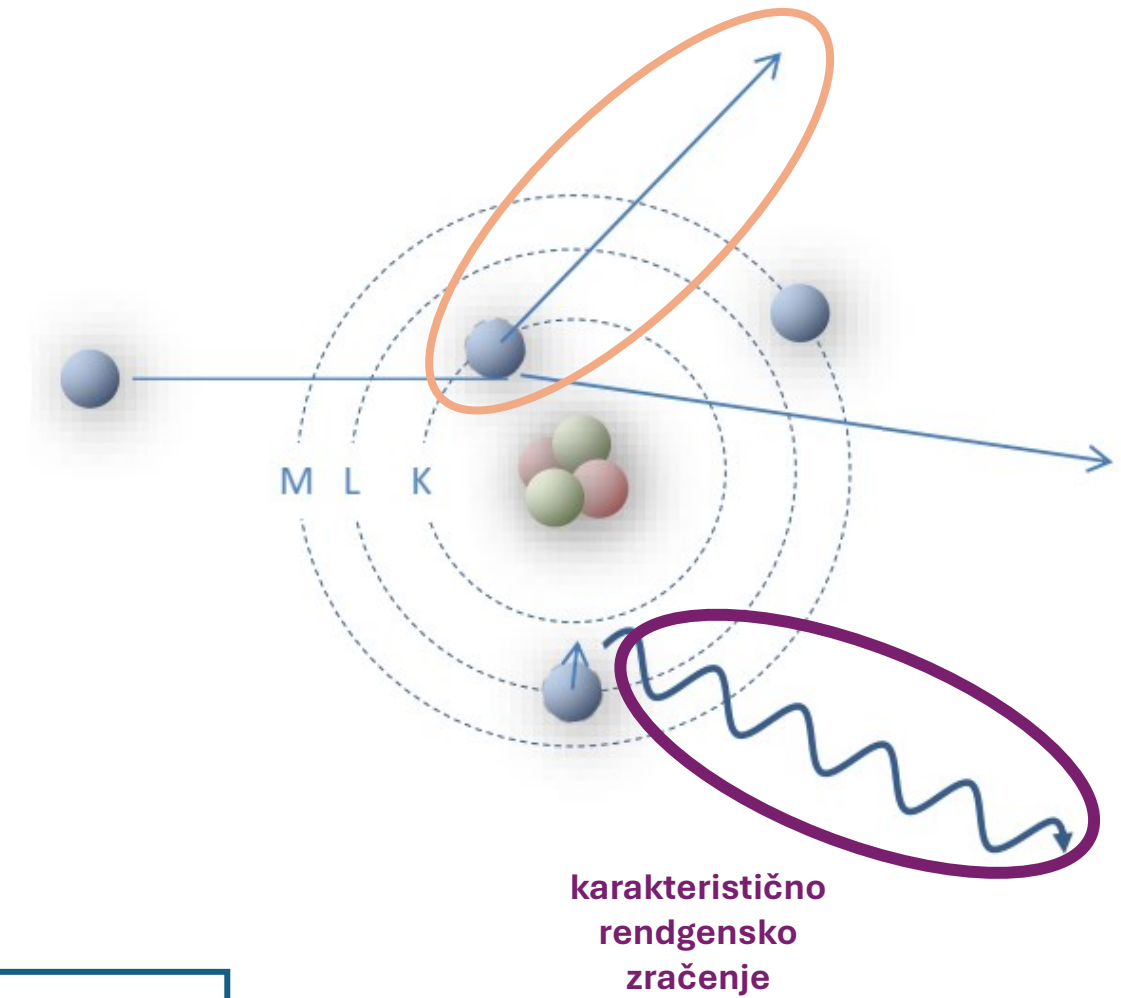
**Kontinuirano zračenje** = usporavanje brzih pobuđujućih elektrona prilikom sudara s drugim elektronima  
→ u nizu sudara s atomima mete, pobuđujući elektroni **gube energiju**



# Nastanak rendgenskog zračenja

## Karakteristično zračenje

- sudar pobuđujućeg elektrona sa elektronom iz **unutrašnje ljske** u atomu → **vakancija**
- atomi s vakancijom u unutrašnjoj ljsci su nestabilni
- u vrlo kratkom vremenu ( $10^{-15}$  s) na upražnjeno mjesto uskače elektron iz neke od vanjskih ljski
- elektron iz vanjske ljske ima višu energiju od elektrona iz unutrašnje → **oslobađanje energije** = karakteristično rendgensko zračenje



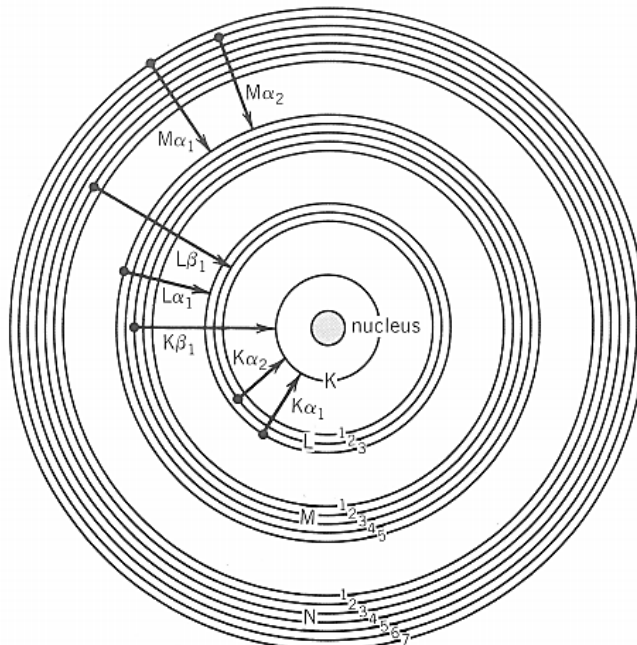
? Zašto H, He i Li ne proizvode karakteristično rendgensko zračenje.

# Nastanak rendgenskog zračenja

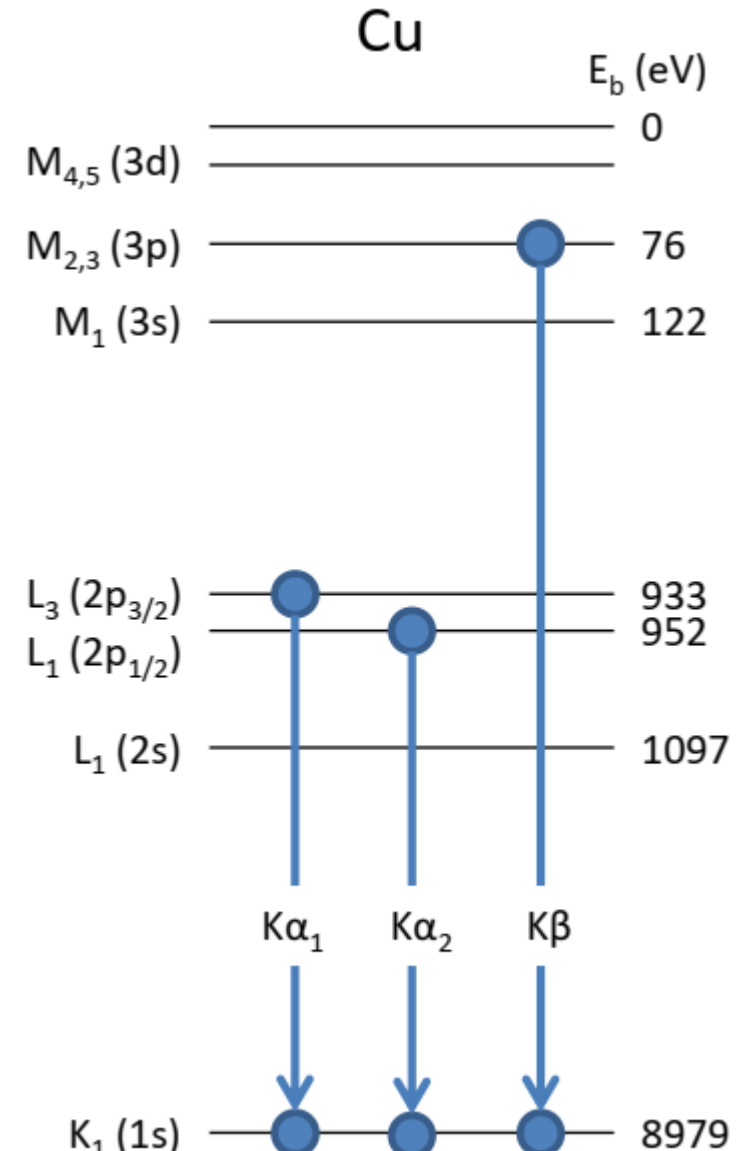
## Karakteristično zračenje

- vakancije mogu biti u različitim unutarnjim ljuskama
- elektron može uskakati s različitih viših energetskih nivoa
- kod svakog elementa može nastati zračenje različitih energija (valnih duljina), tj. mogu nastati različite linije karakterističnog zračenja

- ! Elektroni su u ljuskama vezani energijama karakterističnim za svaki pojedini element → ovisi o privlačnoj sili jezgre → ovisi o broju protona u njoj.
- ! Energija vezivanja elektrona ( $E_b$ ) u unutarnjim ljuskama je veća nego onih u vanjskim.
- ! Elektroni u unutarnjim ljuskama su u energetski povoljnijem položaju.
- ! Razlika u energijama vezivanja elektrona u susjednim unutrašnjim ljuskama veća je nego ona među elektronima u vanjskim ljuskama.



Preuzeto iz Klein (2002).



Döbelin (2024), <https://www.profex-xrd.org/lecture-handouts/>

# Rendgensko zračenje – oznake

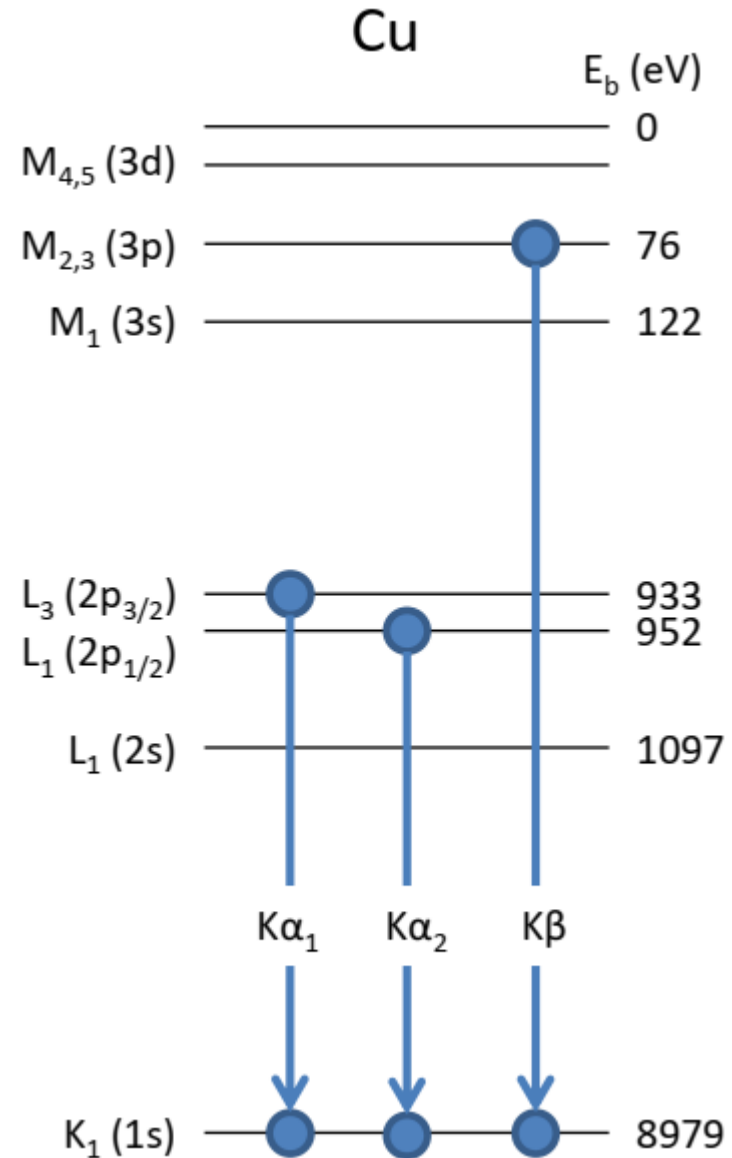
## (1) prema Siegbahnu

- popunjavanjem vakancija u K ljusci nastaju K linije koje čine K seriju  
(npr. CuK)
- unutar serija postoje **podserije** (skupine linija bliskih valnih duljina) → **grčka slova** (ukazuje na relativni intenzitet):  $\alpha$  (najjače linije)  
(npr. CuK $\alpha$ )
- linije iz podserija dodatno se razlikuju brojevima  
(npr. CuK $\alpha_1$ )

## (2) empirijsko označavanje (notacija)

- označavanje elektronskog prijelaza  
→ piše se ljudska u kojoj je elektron završio i ljudska iz koje je elektron došao (npr. Cu KL<sub>III</sub>)

|                     |                             |
|---------------------|-----------------------------|
| <b>L</b> → <b>K</b> | <b>K<math>\alpha</math></b> |
| <b>M</b> → <b>K</b> | <b>K<math>\beta</math></b>  |
| <b>M</b> → <b>L</b> | <b>L<math>\alpha</math></b> |
| <b>N</b> → <b>L</b> | <b>L<math>\beta</math></b>  |



# Rendgensko zračenje – oznake

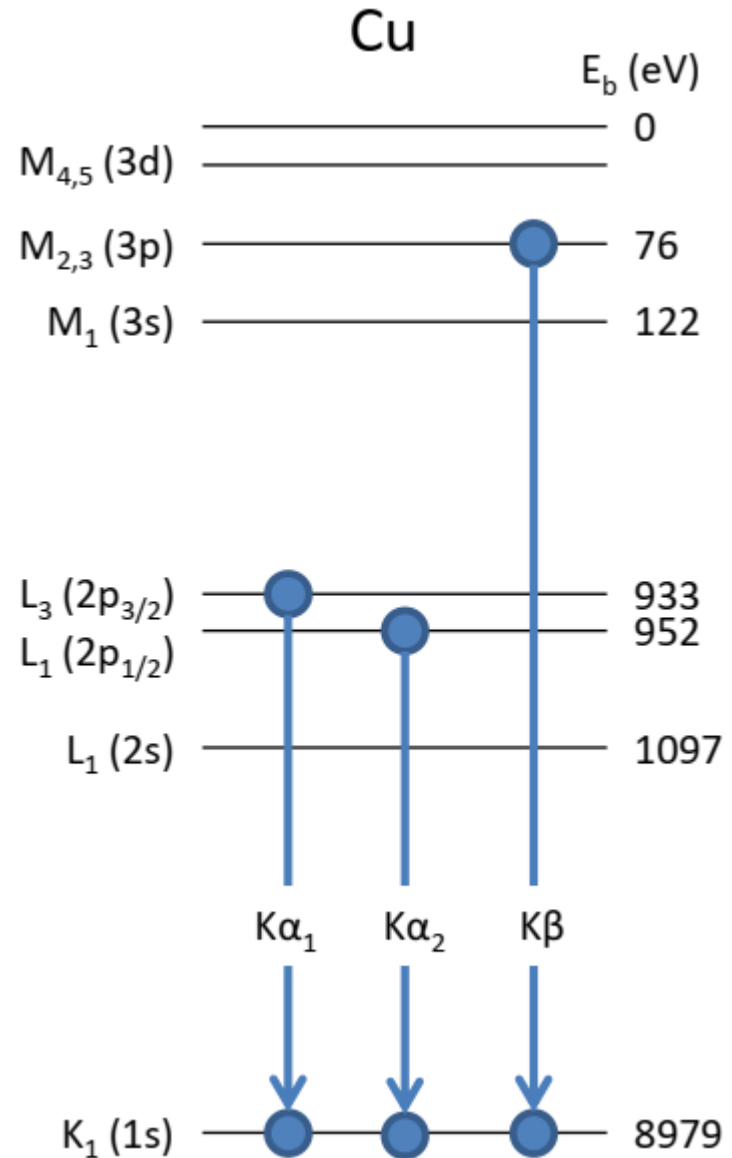
| Energetski nivo  | energija vezivanja [eV] |
|------------------|-------------------------|
| K                | 8978                    |
| L <sub>II</sub>  | 953                     |
| L <sub>III</sub> | 933                     |
| M <sub>II</sub>  | 78                      |
| M <sub>III</sub> | 75                      |

$$E \text{ [keV]} = \frac{12,4}{\lambda \text{ [\AA]}}$$

$$\downarrow$$

$$\lambda \text{ [\AA]} = \frac{12,4}{E \text{ [keV]}}$$

| linija      | prijelaz          | E[eV]            | $\lambda[\text{\AA}]$ |
|-------------|-------------------|------------------|-----------------------|
| $K\alpha_1$ | KL <sub>III</sub> | 8046<br>8979-933 | 1,5411                |
| $K\alpha_2$ | KL <sub>II</sub>  | 8027<br>8979-952 | 1,5448                |
| $K\beta$    | KM <sub>III</sub> | 8903<br>8979-76  | 1,3928                |



Döbelin (2024), <https://www.profex-xrd.org/lecture-handouts/>

# Nastanak rendgenskog zračenja

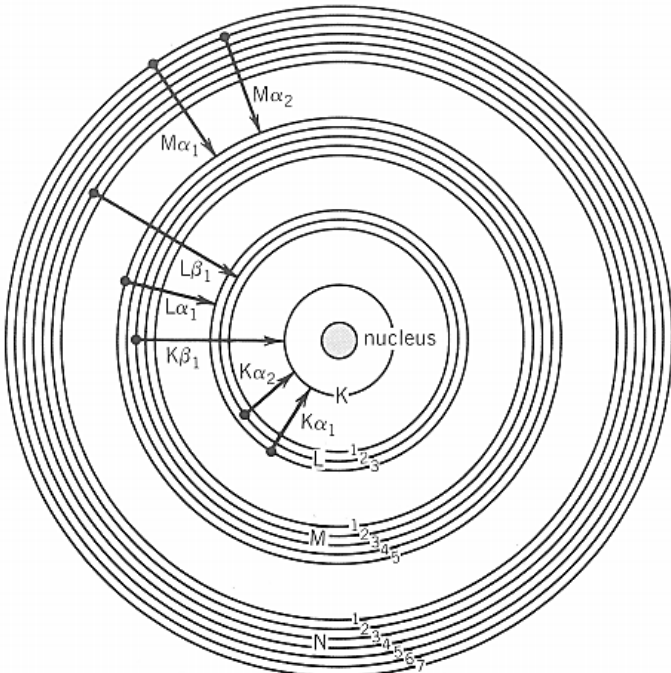
- ! Elementi niskog rednog broja emitiraju samo K linije.
- ! S porastom rednog broja spektar postaje kompleksniji.
- ! K linije nekog elementa imaju veće energije od L linija tog elementa, a njihova je energija viša od energije M linija.
- ! S porastom rednog broja elemenata rastu i energije njihovih K linija.

Neka opća pravila:

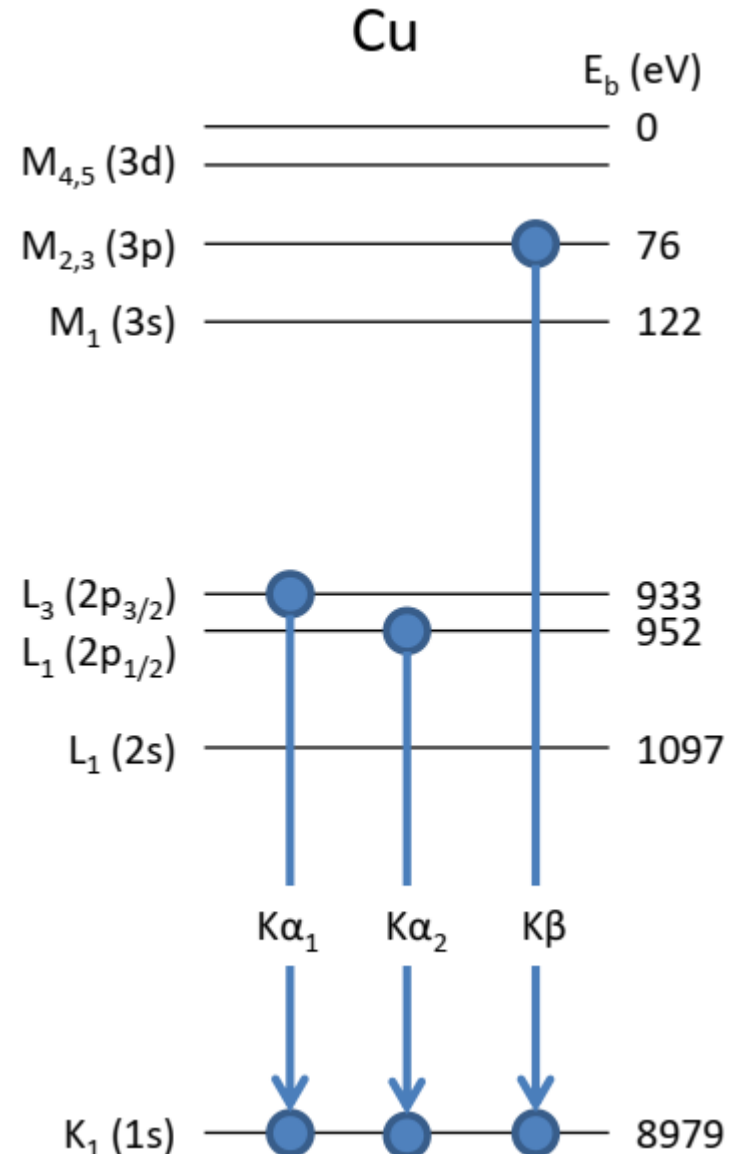
$$IK > IL > IM$$

$$|K\alpha_1| : |K\alpha_2| = 2 : 1$$

$$IK\beta \sim 15\text{--}30 \% IK\alpha$$



Preuzeto iz Klein (2002).

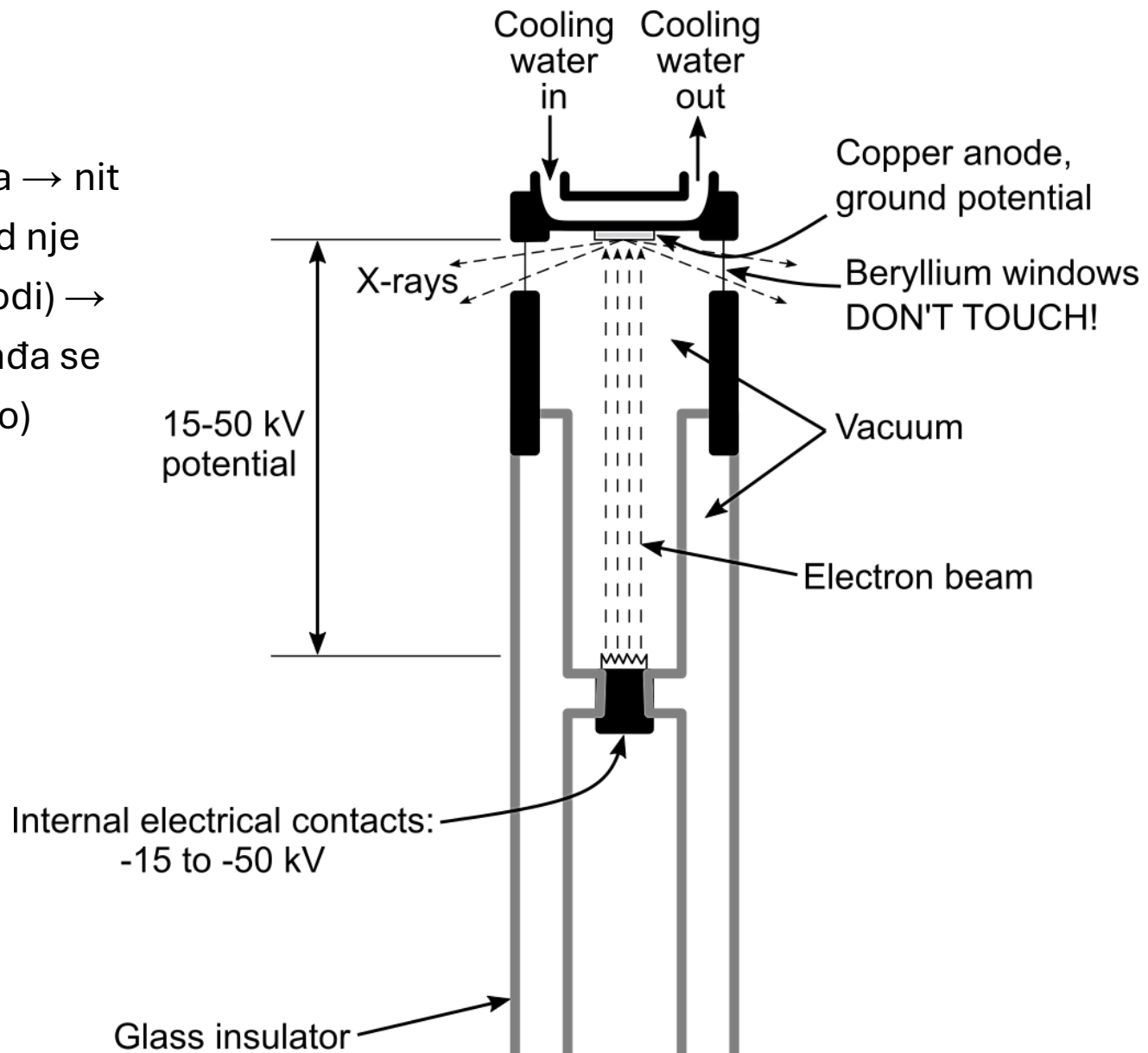
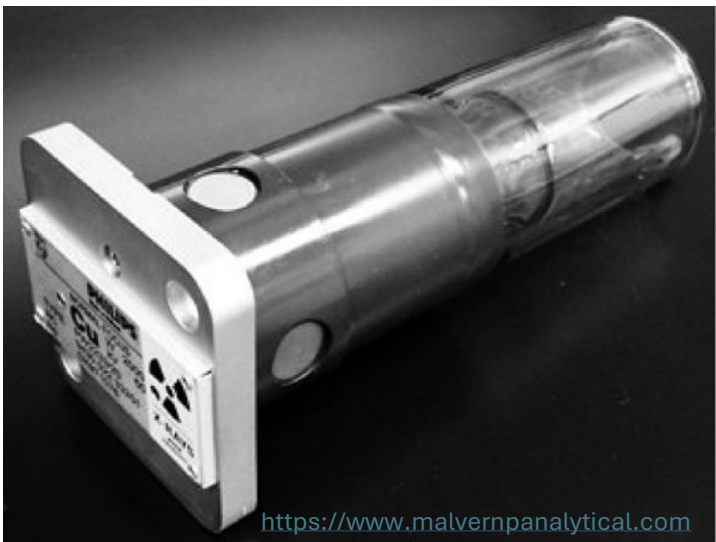


Döbelin (2024), <https://www.profex-xrd.org/lecture-handouts/>

# Izvor rendgenskog zračenja

## (1) Rendgenska cijev

Princip rada: kroz volframsku nit propušta se struja → nit se zagrijava → otpušta elektrone → elektroni se od nje ubrzano udaljavaju i kreću se prema meti (antikatodi) → prilikom udara u metu (**Cu**, Co, Fe, Mn, Mo) oslobađa se rendgensko zračenje (kontinuirano i karakteristično)



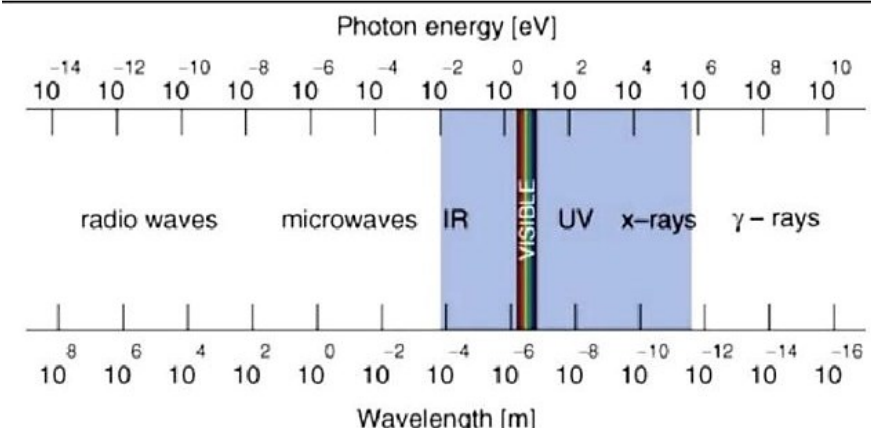
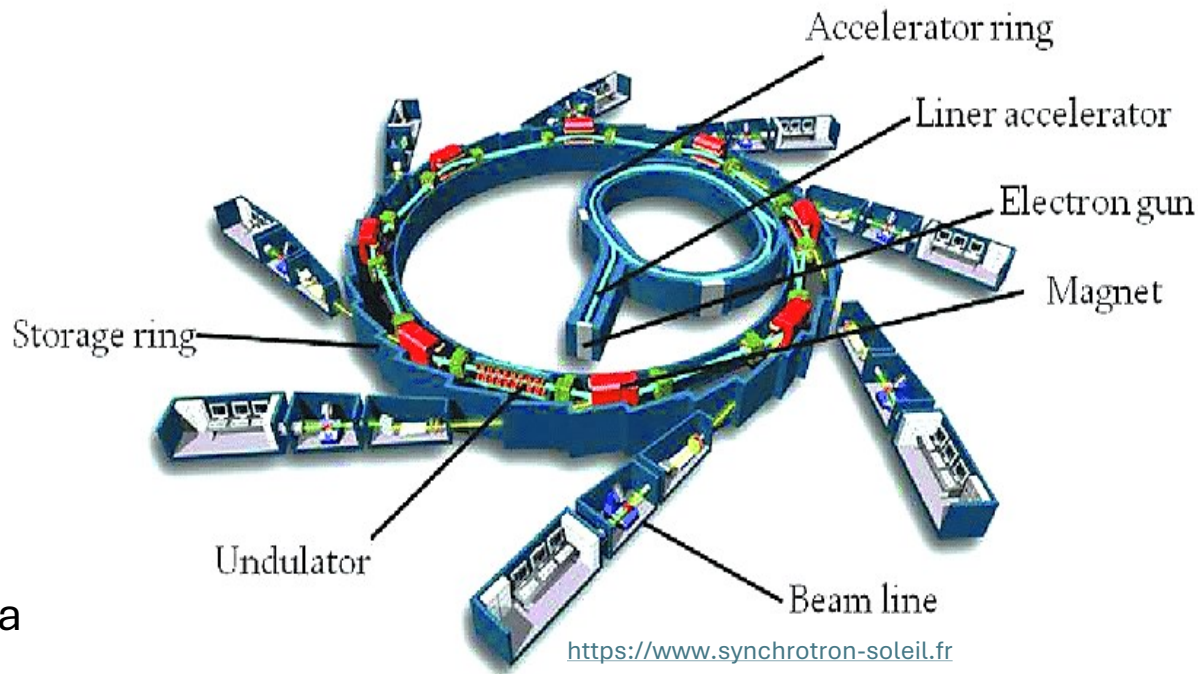
# Izvor rendgenskog zračenja

## (1) Rendgenska cijev

Princip rada: kroz volframsku nit propušta se struja → nit se zagrijava → otpušta elektrone → elektroni se od nje ubrzano udaljavaju i kreću se prema meti (antikatodi) → prilikom udara u metu (**Cu, Co, Fe, Mn, Mo**) oslobođa se rendgensko zračenje (kontinuirano i karakteristično)

## (2) Sinhrotroni

Kružni akceleratori čestica → snop vrlo visokog intenziteta  
→ moguće analize materijala koji se ne mogu analizirati na instrumentima opremljenim rendgenskim cijevima (npr. vrlo sitni uzorci)



How does a Synchrotron work?

[https://www.youtube.com/watch?v=b3mEmE4Gu\\_A](https://www.youtube.com/watch?v=b3mEmE4Gu_A)

# Izvor rendgenskog zračenja

## (1) Rendgenska cijev

Princip rada: kroz volframsku nit propušta se struja → nit se zagrijava → otpušta elektrone → elektroni se od nje ubrzano udaljavaju i kreću se prema meti (antikatodi) → prilikom udara u metu (**Cu, Co, Fe, Mn, Mo**) oslobođa se rendgensko zračenje (kontinuirano i karakteristično)

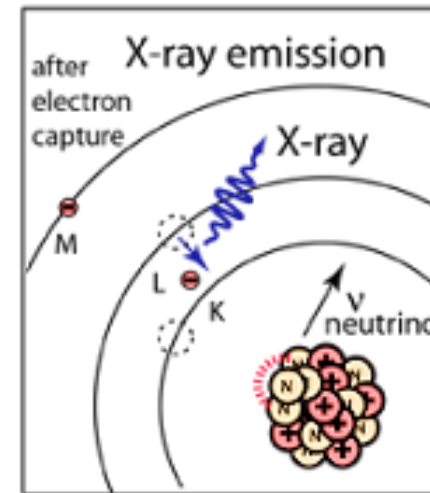
## (2) Sinhrotroni

Kružni akceleratori čestica → snop vrlo visokog intenziteta → moguće analize materijala koji se ne mogu analizirati na instrumentima opremljenim rendgenskim cijevima (npr. vrlo sitni uzorci)

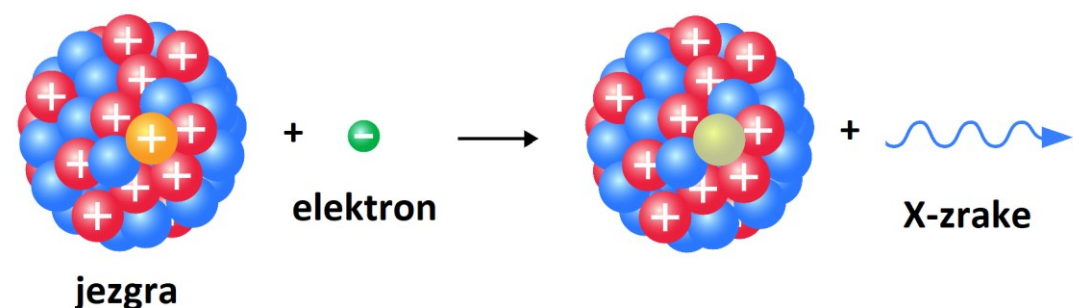
## (3) Radiokativni raspad

**Elektronski hvat**: jezgra atoma prihvati elektron iz neke od unutrašnjih elektronskih ljuški ( $e^- + p^+ \rightarrow n^0$ ; nastaje atom čiji je redni broj niži za 1) → vakancija → emisija karakterističnog rendgenskog zračenja

Primjer:  $^{55}\text{Fe} \rightarrow ^{55}\text{Mn} + h\nu$



<http://hyperphysics.phy-astr.gsu.edu>

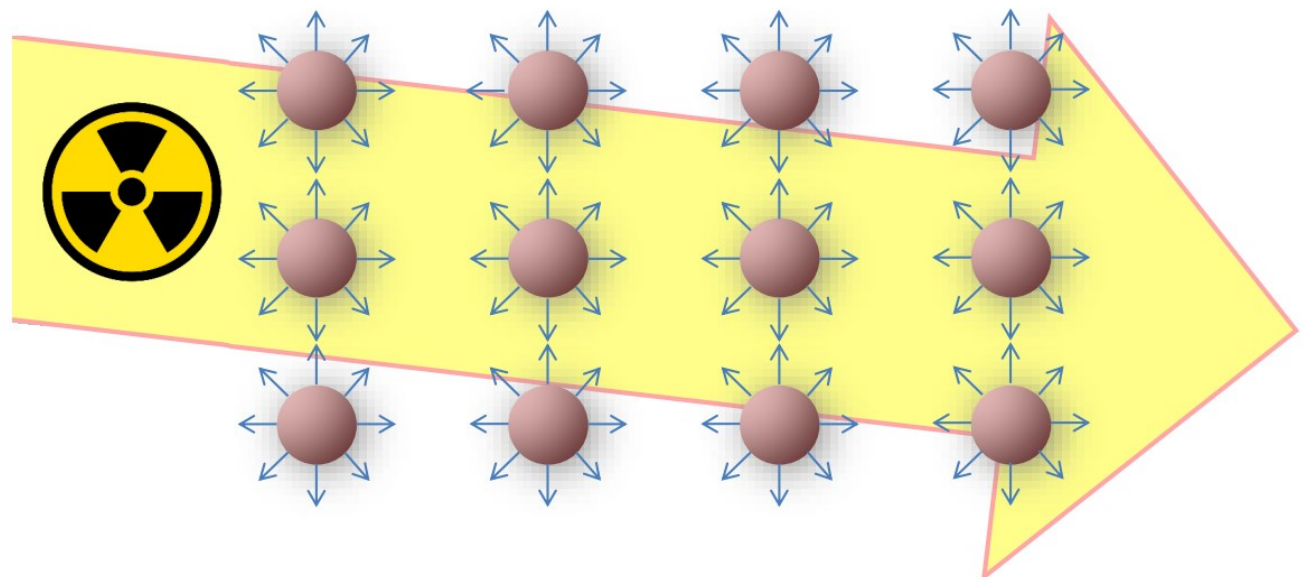


# Difrakcija X-zraka na kristalu

## Interakcija X-zraka sa kristalom

! Kada rendgensko zračenje dospije do neke materije promjenjivo električno polje pobudi elektrone na periodičke oscilacije.

- predstavljaju izvor nove valne fronte X-zračenja koja se širi na sve strane = **raspršenje**
- emitiraju (raspršuju) rendgensko zračenje iste frekvencije i valne duljine kao i upadno rendgensko zračenje = **elastično (koherentno) raspršenje**



Döbelin (2024), <https://www.profex-xrd.org/lecture-handouts/>

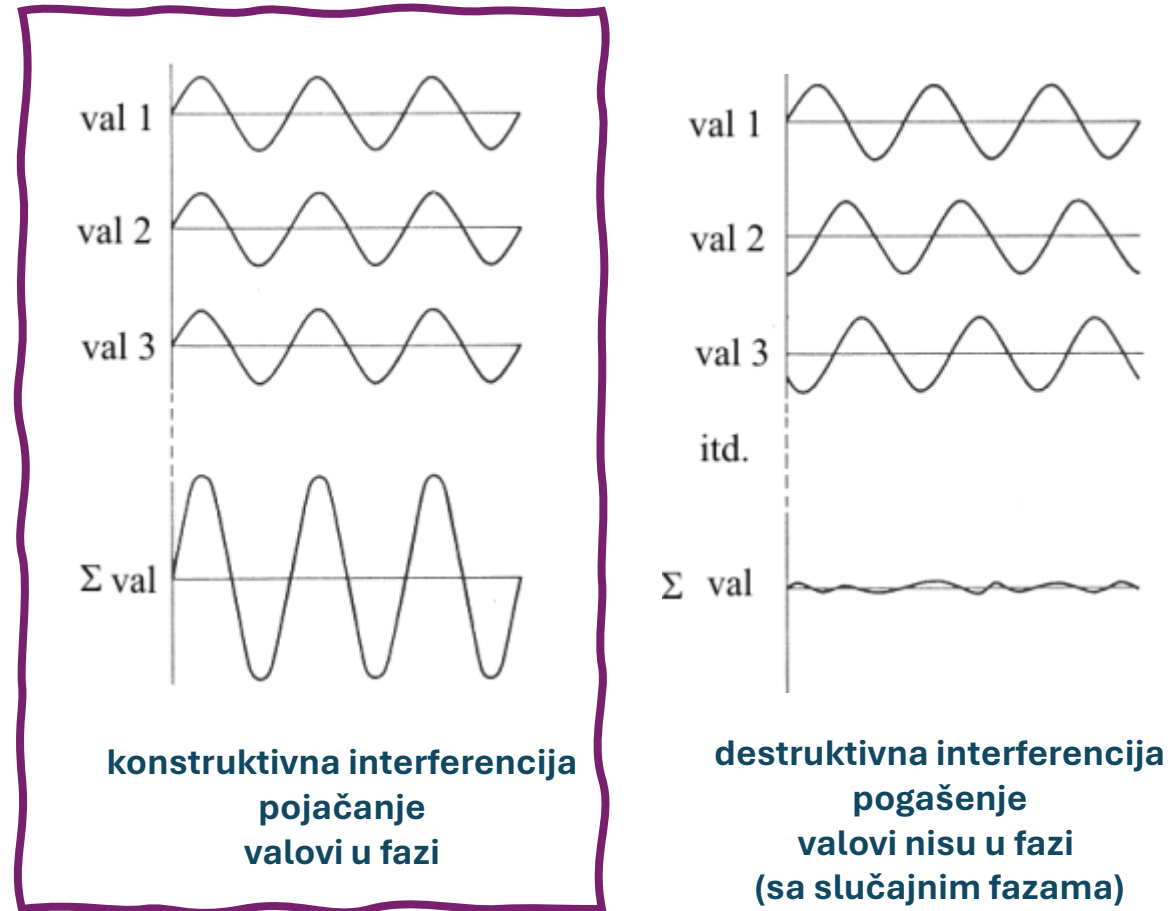
# Difrakcija X-zraka na kristalu

## Interakcija X-zraka sa kristalom

! Kada rendgensko zračenje dospije do neke materije promjenjivo električno polje pobudi elektrone na periodičke oscilacije.

- predstavljaju izvor nove valne fronte X-zračenja koja se širi na sve strane = **raspršenje**
- emitiraju (raspršuju) rendgensko zračenje iste frekvencije i valne duljine kao i upadno rendgensko zračenje = **elastično (koherentno) raspršenje**

**DIFRAKCIJA** = pojava pojačanja koherentno raspršenog rendgenskog zračenja uslijed interferencije



Preuzeto iz Azároff (1968): Elements of X-ray crystallography. McGraw-Hill

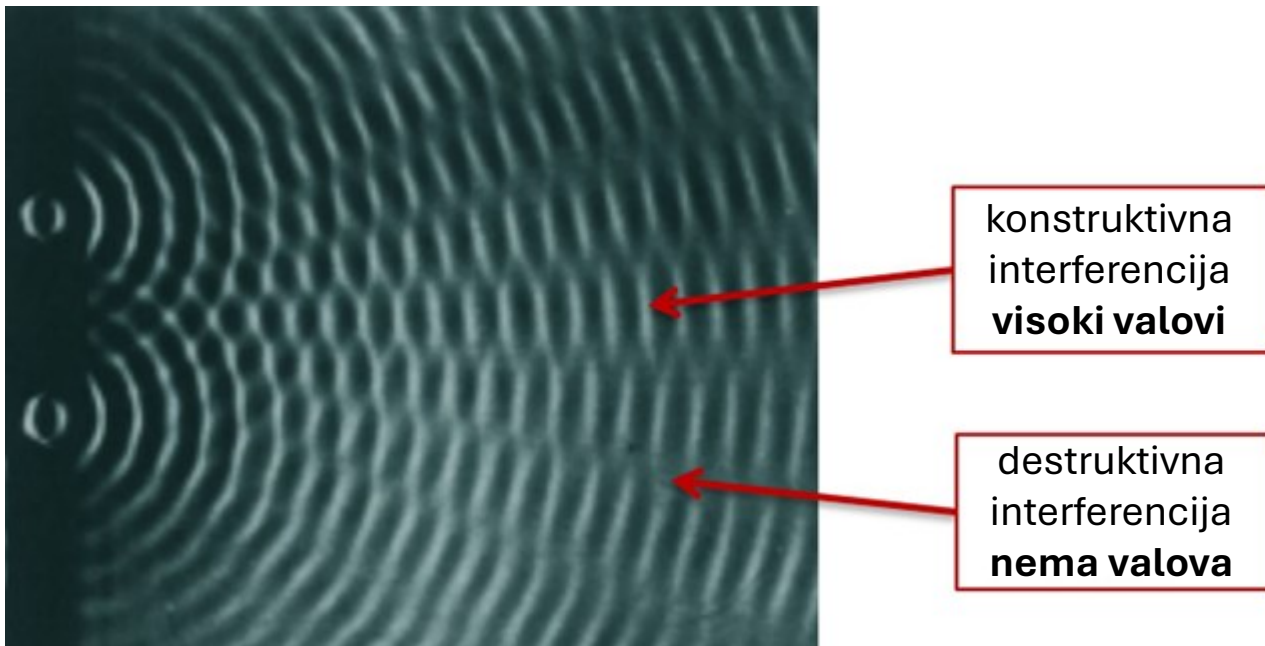
# Difrakcija X-zraka na kristalu

## Interakcija X-zraka sa kristalom

! Kada rendgensko zračenje dospije do neke materije promjenjivo električno polje pobudi elektrone na periodičke oscilacije.

- predstavljaju izvor nove valne fronte X-zračenja koja se širi na sve strane = **raspršenje**
- emitiraju (raspršuju) rendgensko zračenje iste frekvencije i valne duljine kao i upadno rendgensko zračenje = **elastično (koherentno) raspršenje**

**DIFRAKCIJA** = pojava pojačanja koherentno raspršenog rendgenskog zračenja uslijed interferencije



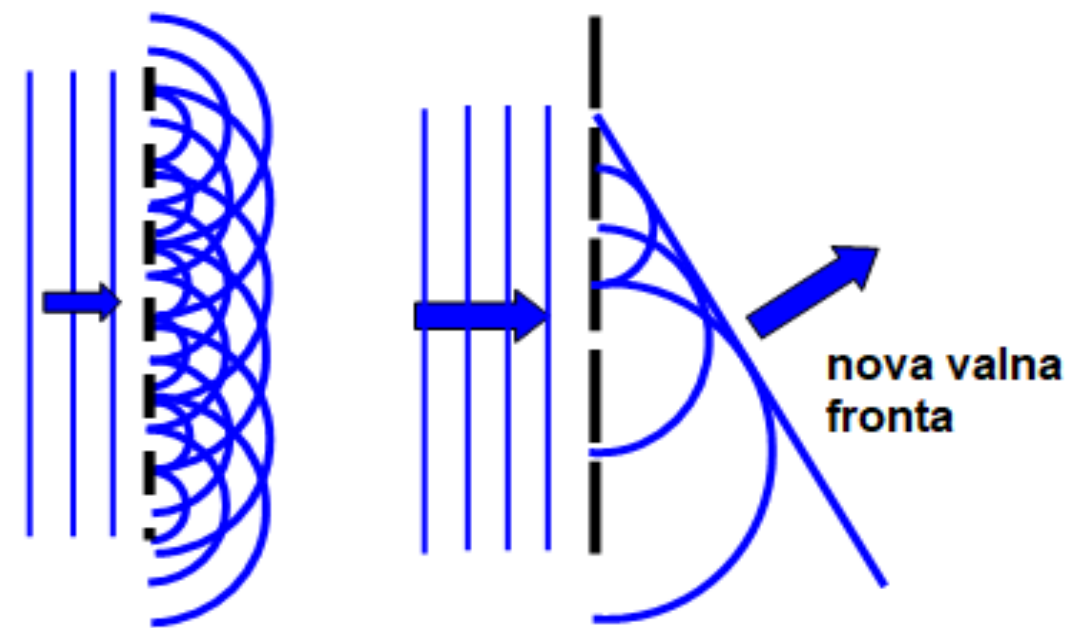
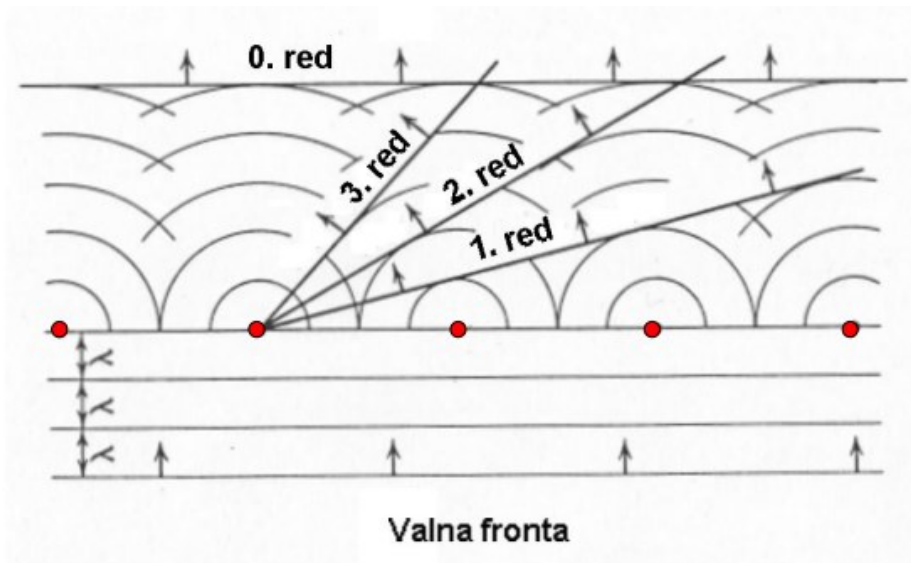
<https://wiki.anton-paar.com>

# Širenje X-zraka

! Difraktirano zračenje širi se samo u određenim smjerovima.

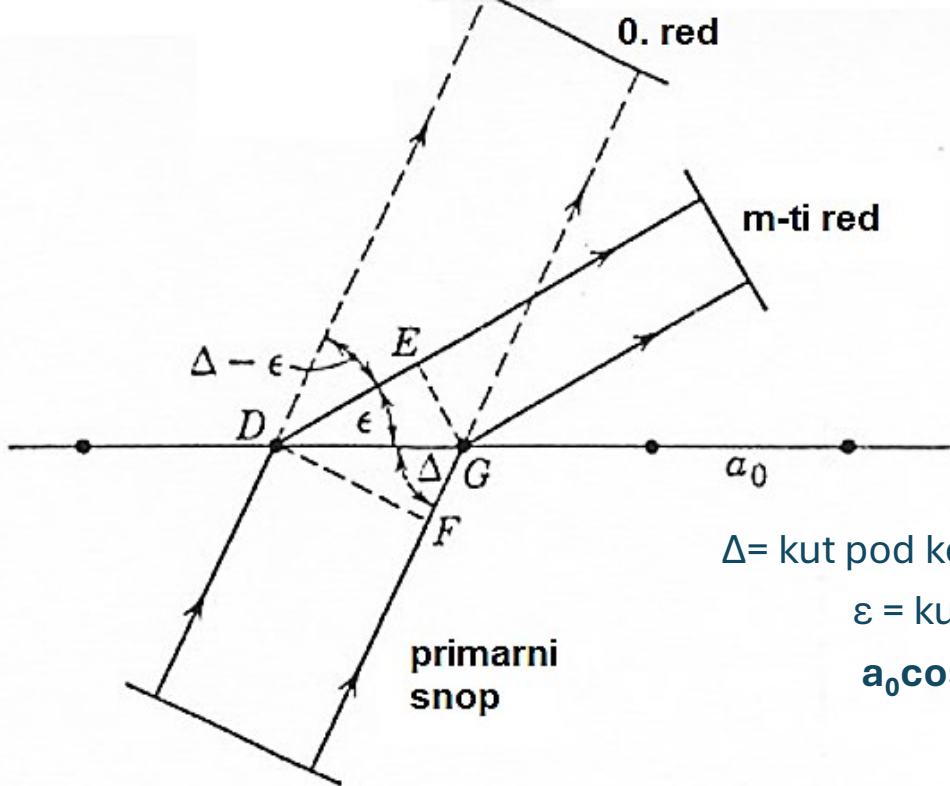
- okomito na zajedničke fronte valova koji se razlikuju u hodu za cijeli broj valnih duljina
- redovi difraktiranog zračenja: 0., 1., 2., ...

- 0. red – paralelno s primarnom valnom frontom
- difraktirano zračenje viših redova – razlika u fazi za neki cijeli broj valnih duljina



# Difrakcija X-zraka na kristalu

! Kako bi bili zadovoljeni uvjeti za konstruktivnu interferenciju, razlika u hodu ( $\Delta$ ) među valovima raspršenim na susjednim atomima mora biti cijeli broj valnih duljina ( $n\lambda$ ).



$$DE - FG = m\lambda$$

$$DE = a_0 \cos \epsilon$$

$$FG = a_0 \cos \Delta$$

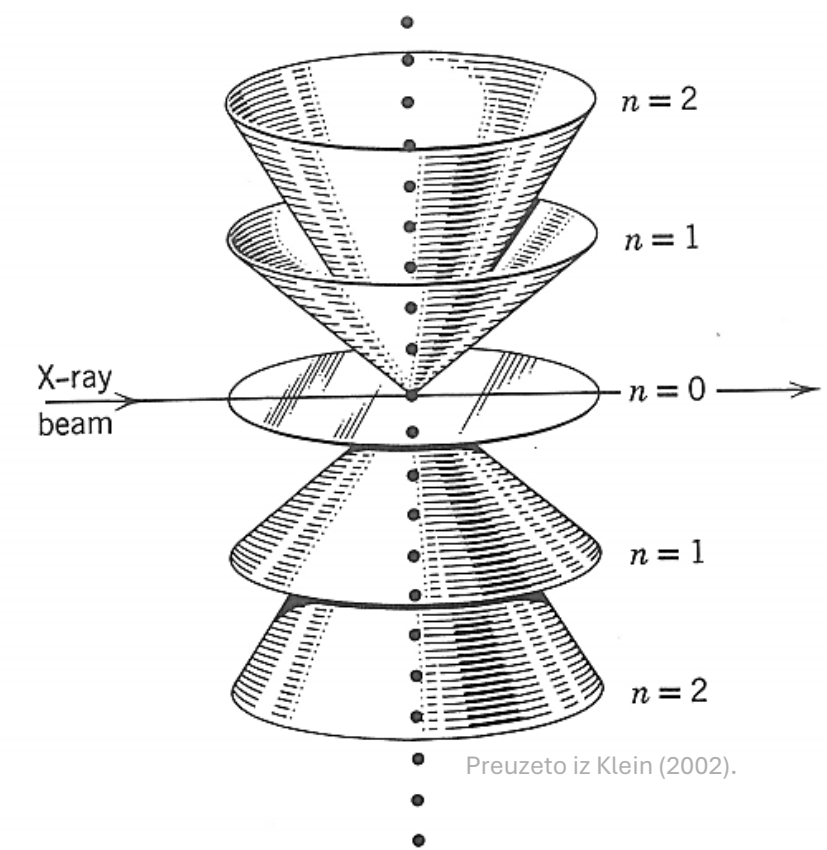
$a_0$  = razmak među atomima

$\Delta$  = kut pod kojim primarni snop zraka pada na niz atoma

$\epsilon$  = kut pod kojim se šire difraktirane zrake

$$a_0 \cos \epsilon - a_0 \cos \Delta = a_0 (\cos \epsilon - \cos \Delta) = m\lambda$$

**Laueove jednadžbe**



Preuzeto iz Klein (2002).

difrakcijski stošci na  
nizu atoma  
(primarni snop pada  
okomito na niz,  $\Delta=90^\circ$ )

! Difraktirane zrake u 3D prostoru  
šire se u obliku plašta stošca.

# Difrakcija X-zraka na kristalu

! Kako bi bili zadovoljeni uvjeti za konstruktivnu interferenciju, razlika u hodu ( $\Delta$ ) među valovima raspršenim na susjednim atomima mora biti cijeli broj valnih duljina ( $n\lambda$ ).

**Kristal = trodimenzionalna prostorna rešetka**

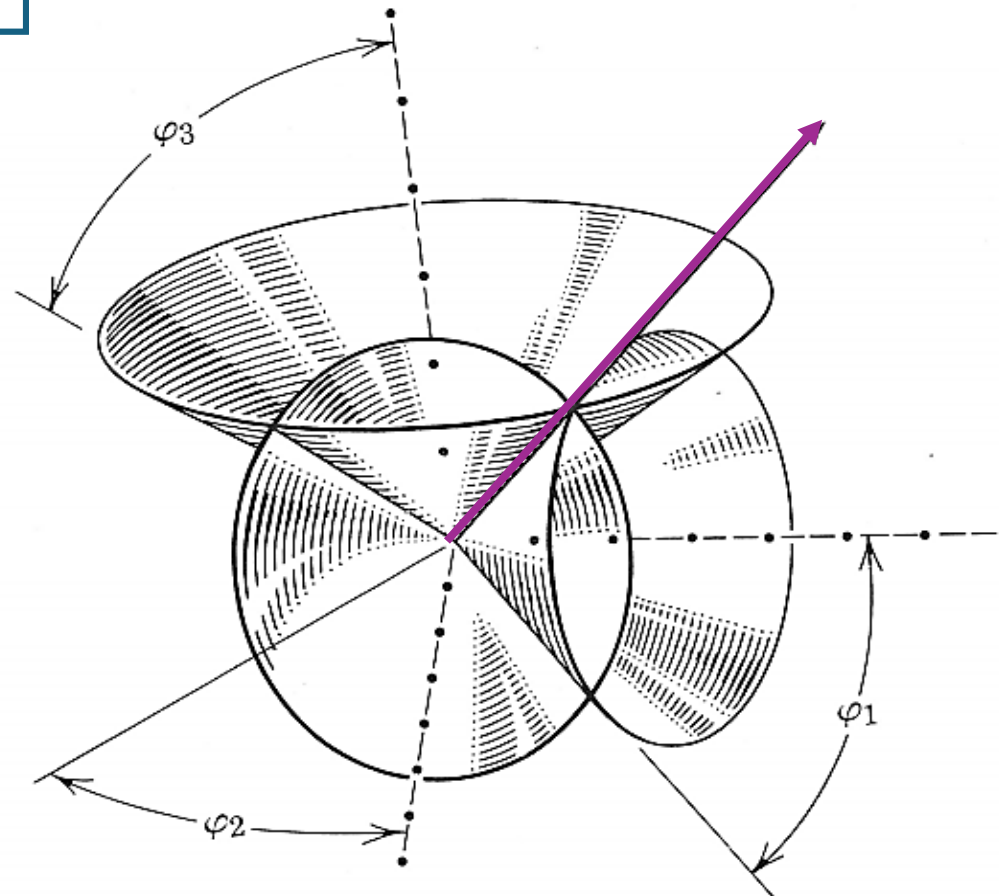
→ da bi došlo do difrakcije na prostornoj rešetki istovremeno moraju biti zadovoljeni uvjeti za 3 niza atoma = sjecište 3 stošca

$$a_0 (\cos \varepsilon_1 - \cos \Delta_1) = m\lambda$$

$$b_0 (\cos \varepsilon_2 - \cos \Delta_2) = p\lambda$$

$$c_0 (\cos \varepsilon_3 - \cos \Delta_3) = q\lambda$$

**Laueove jednadžbe**



Preuzeto iz Klein (2002).

# Difrakcija X-zraka na kristalu

! Kako bi bili zadovoljeni uvjeti za konstruktivnu interferenciju, razlika u hodu ( $\Delta$ ) među valovima raspršenim na susjednim atomima mora biti cijeli broj valnih duljina ( $n\lambda$ ).



Rendgenske zrake difraktiraju se na način kao da se reflektiraju s ravnina u kristalu.

$$\Delta = GE + EH = 2 \cdot GE = 2d \cdot \sin\theta$$

$$n\lambda = 2d \cdot \sin\theta$$

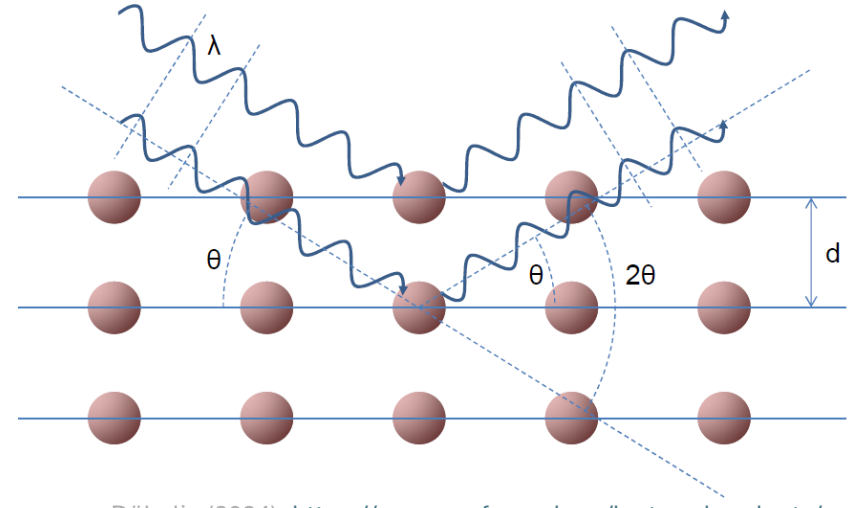
Braggov zakon

$n$  – cijeli broj

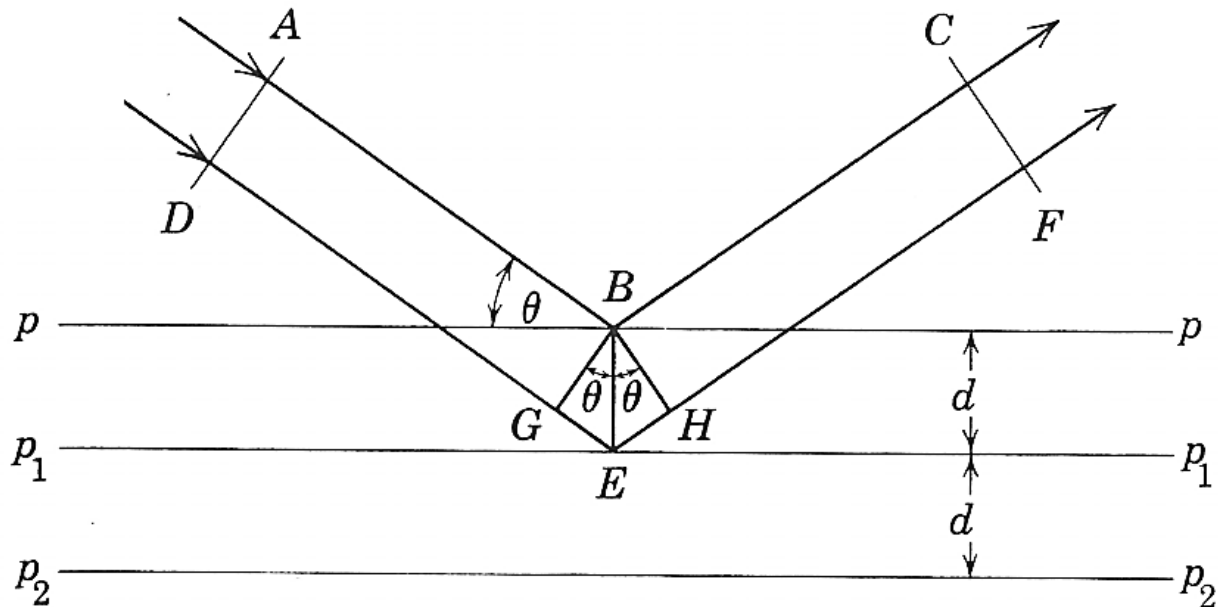
$\lambda$  – valna duljina upadnog zračenja

$d$  – međumrežni razmak

$\theta$  – kut između primarne i difraktirane zrake s određenom mrežnom ravninom



Döbelin (2024), <https://www.profex-xrd.org/lecture-handouts/>

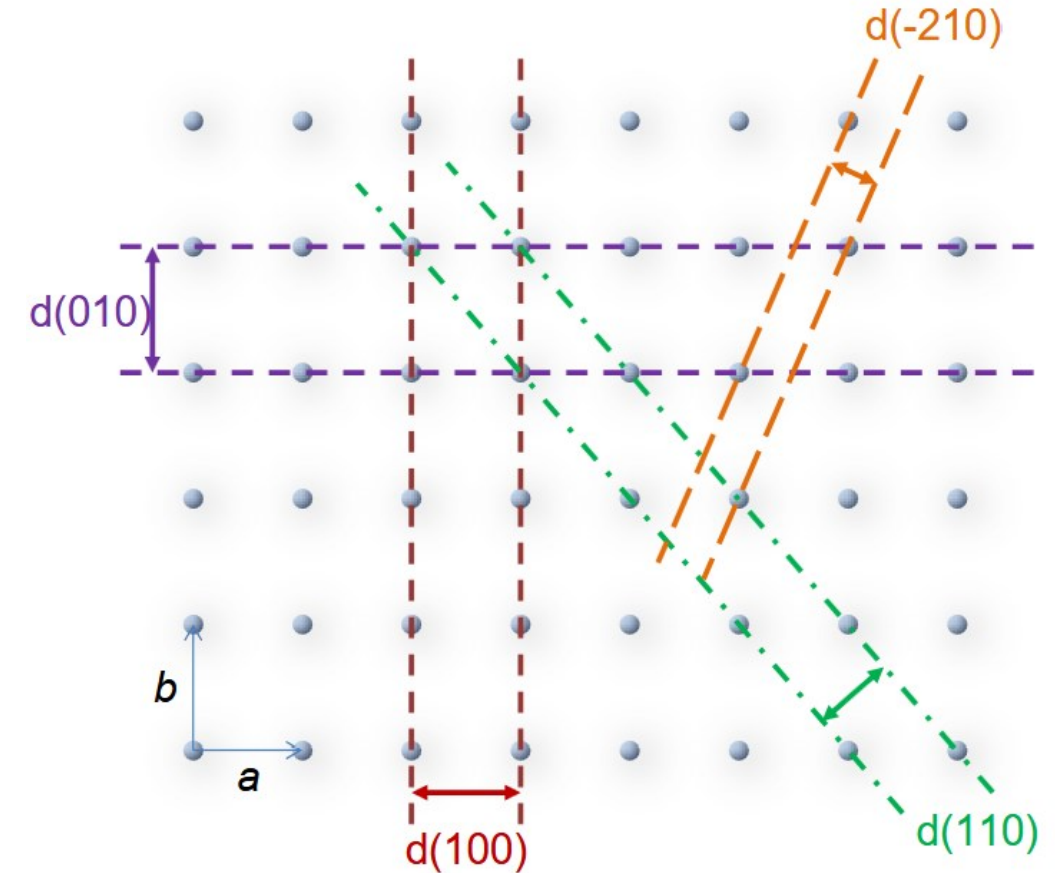


# Mrežne ravnine

**Mrežne ravnine** = zamišljene ravnine u kristalu u kojima leže atomi.

- imaju određenu orientaciju koja je definirana odnosom prema kristalografskim osima
- Millerovi indeksi ( $hkl$ ) → definiraju čitav niz paralelnih i međusobno jednako udaljenih mrežnih ravnina = set mrežnih ravnina ("familija" mrežnih ravnina)

**međumrežni razmak ( $d$ )** = udaljenost između dvije istovrsne mrežne ravnine



Döbelin (2024), <https://www.profex-xrd.org/lecture-handouts/>

veći Millerovi indeksi  $\leftrightarrow$  manji međumrežni razmak  $\leftrightarrow$  manji broj točaka na mrežnoj ravnini

# Međumrežni razmak

## Izračun međumrežnog razmaka

Kubični sustav:

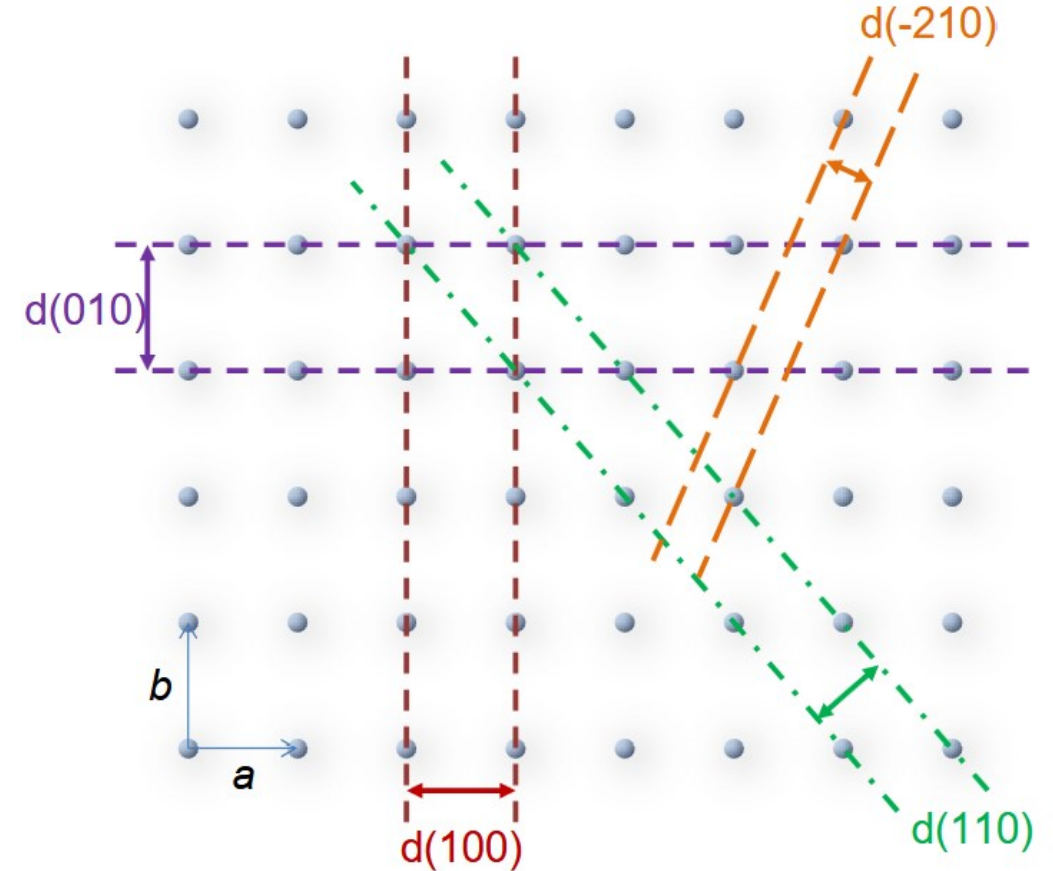
$$d_{hkl} = \frac{a_0}{\sqrt{h^2 + k^2 + l^2}}$$

Rompski sustav:

$$d_{hkl} = \frac{1}{\sqrt{\frac{h^2}{a_0^2} + \frac{k^2}{b_0^2} + \frac{l^2}{c_0^2}}}$$

Općenito:

$$\frac{1}{d^2} = \frac{\frac{h^2}{a^2} \sin^2 \alpha + \frac{k^2}{b^2} \sin^2 \beta + \frac{l^2}{c^2} \sin^2 \gamma + \frac{2hk}{ab} (\cos \alpha \cos \beta - \cos \gamma) + \frac{2kl}{bc} (\cos \beta \cos \gamma - \cos \alpha) + \frac{2lh}{ca} (\cos \gamma \cos \alpha - \cos \beta)}{1 - \cos^2 \alpha - \cos^2 \beta - \cos^2 \gamma + 2 \cos \alpha \cos \beta \cos \gamma}$$



Döbelin (2024), <https://www.profex-xrd.org/lecture-handouts/>

# Rendgenska difrakcijska analiza

Upotreba rendgenske difrakcije:

1. Strukturalna određivanja
2. Kvalitativna fazna analiza
3. Kvantitativna fazna analiza

Metode analize – s obzirom na vrstu uzorka:

1. Metoda monokristala
2. Metoda praha

Tehnike analize – s obzirom na način bilježenja difraktiranog zračenja:

1. Filmske – na fotografском filmu (prije) → X-zrake izazivaju zacrnjenje filma  
– danas CCD kamere
2. Brojačke – X-zrake (fotoni) se u detektoru pretvaraju u impulse (elektrone)

# Metode analize

## Metoda monokristala

( $\leq 1$  mm veličine)

Ako kristal miruje mala je vjerojatnost da će neke mrežne ravnine biti baš u takvom položaju da bude zadovoljen Braggov zakon.

→ tijekom eksperimenta kristal\* i/ili film se **zakreću**

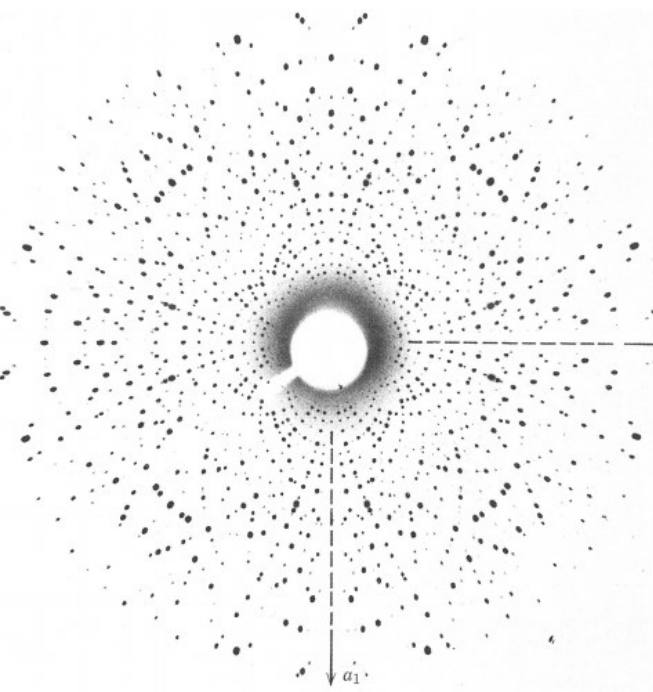
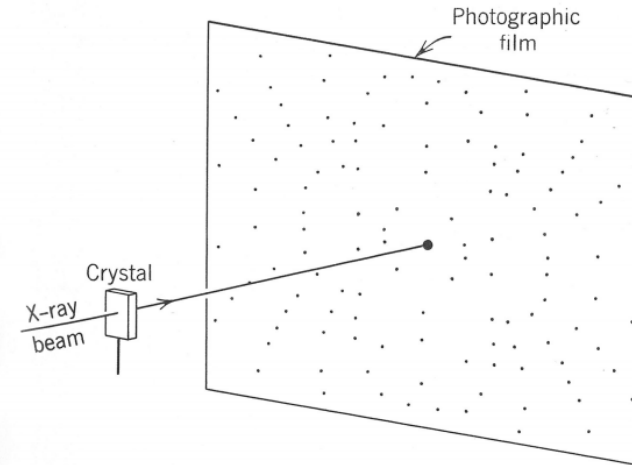
\* kristal se zakreće oko jedne kristalografske osi (podudara se s osi kamere)

! Ali i tada do difrakcije dolazi samo u određenim smjerovima.

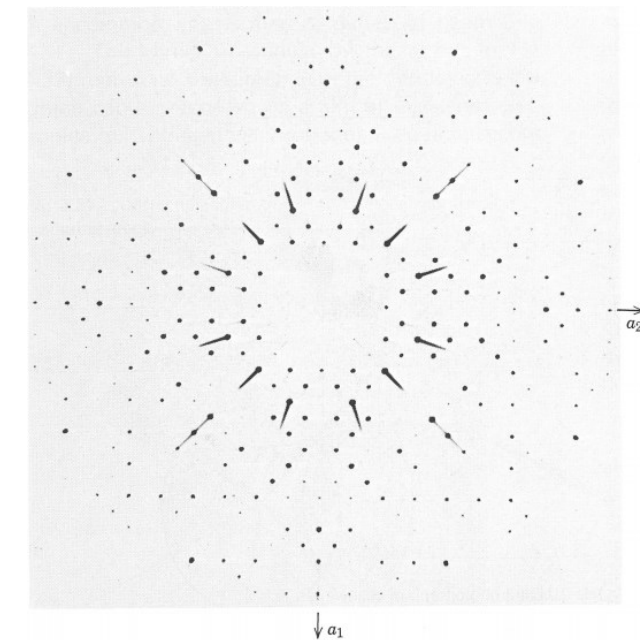
→ na filmu zabilježene samo točke ili pjege

### Upotreba:

- **određivanje kristalnih struktura** na temelju prikupljenih podataka o intenzitetima difraktiranog zračenja s velikog broja različitih mrežnih ravnina
- **određivanje dimenzija jedinične čelije**

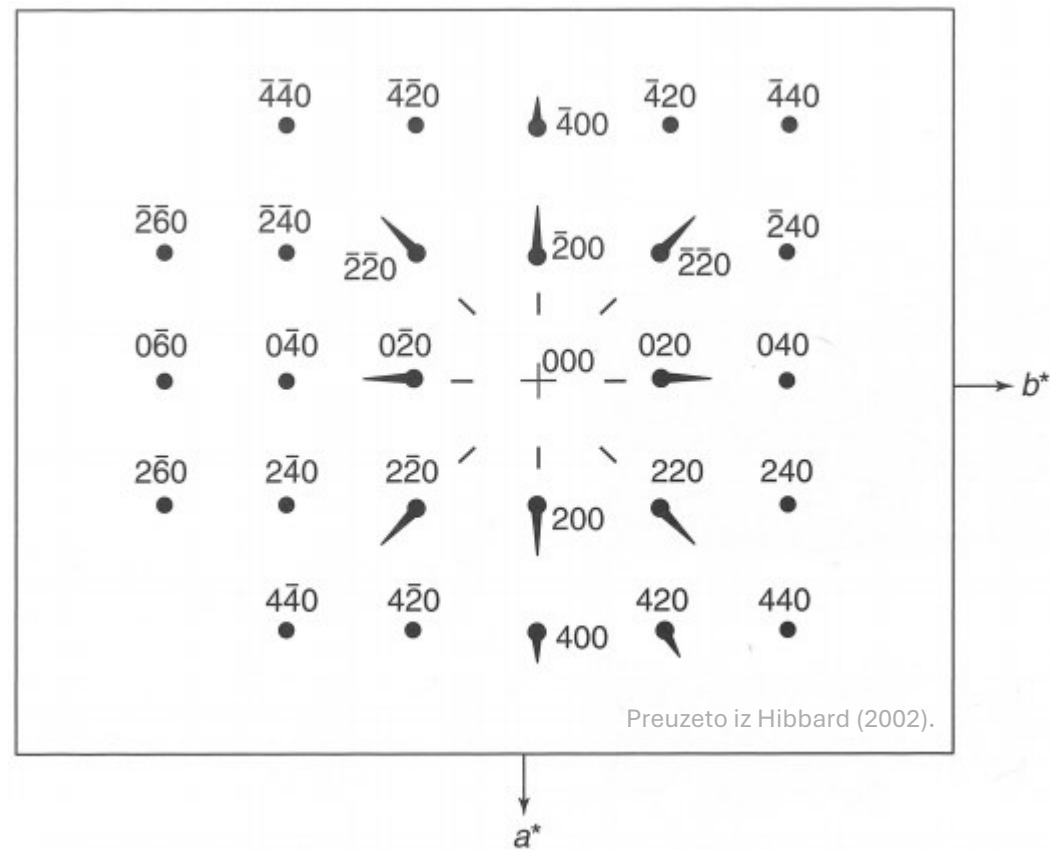
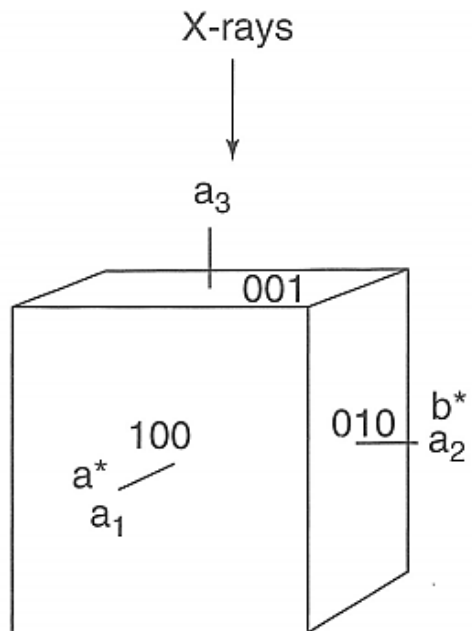


Laueova metoda  
na kristalu vezuvijana



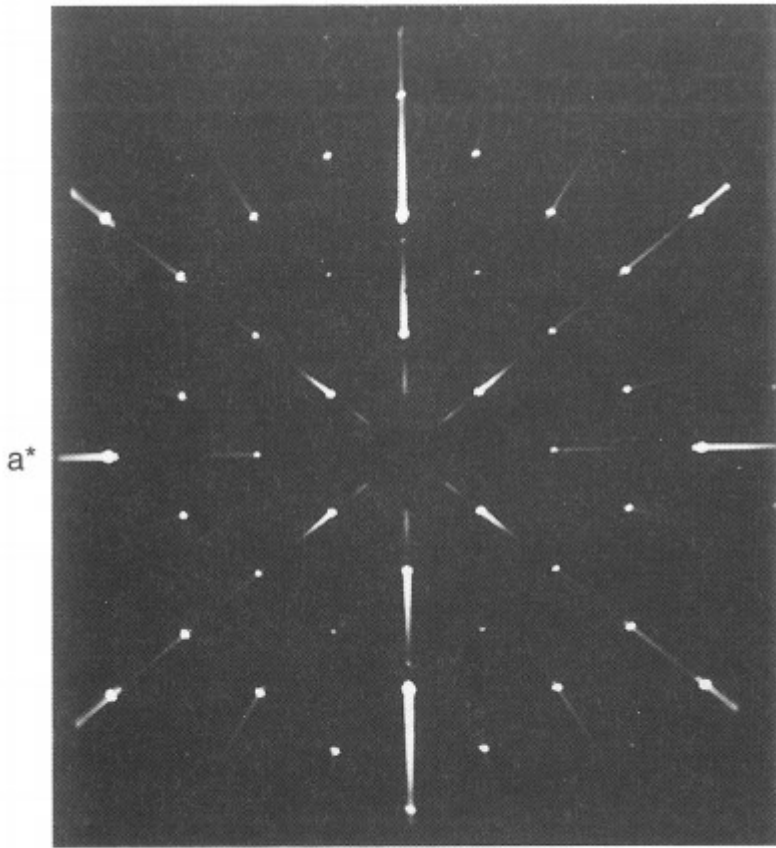
precesijska metoda  
na kristalu vezuvijana

# Mrežne ravnine



rendgenski uzorak za kristal halita

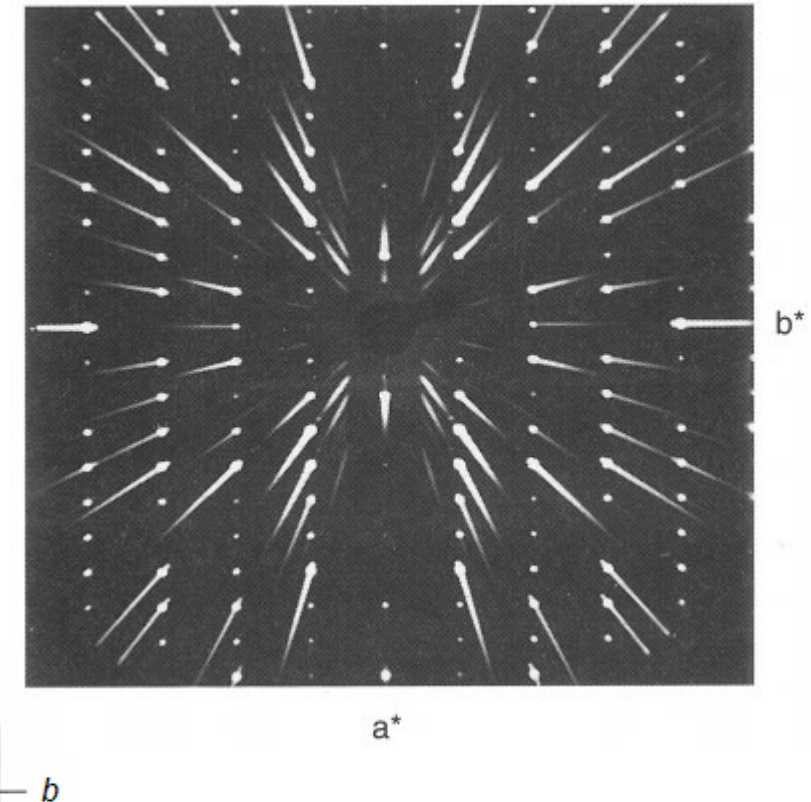
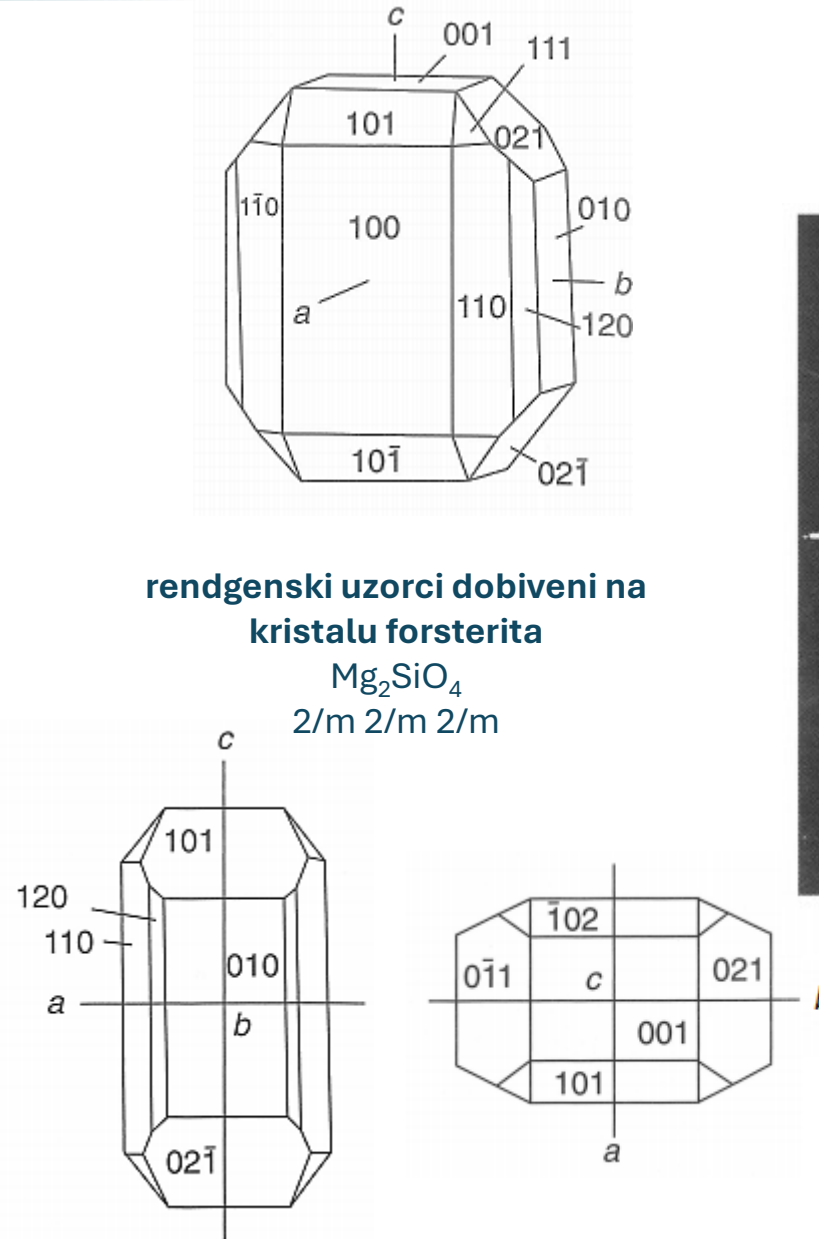
# Mrežne ravnine



a\*

c\*

duž osi b



b\*

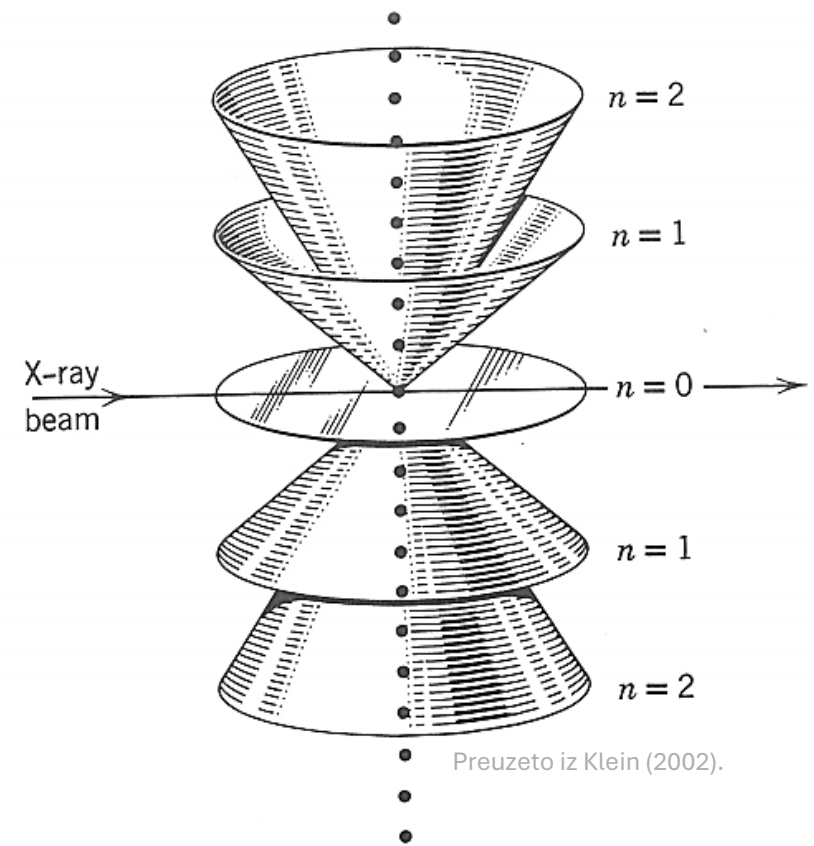
a\*

duž osi c

# Metode analize

## Metoda monokristala

- $t$  = perioda kristalne rešetke u smjeru kristalografske osi namještene paralelno s osi kamere → **parametri jedinične čelije**
- $y_n$  = razmak slojnih linija od nulte slojne linije ( $n$  = red difraktiranog zračenja, tj. broj slojne linije)
- $r$  = radius kamere
- $\lambda$  = valna duljina zračenja, okomito na os kamere



Preuzeto iz Klein (2002).

## Upotreba:

- **određivanje kristalnih struktura** na temelju prikupljenih podataka o intenzitetima difraktiranog zračenja s velikog broja različitih mrežnih ravnina
- **određivanje dimenzija jedinične čelije**

## Kako?

- zakretanje kristala oko jedne kristalografske osi (koja se poklapa sa osi kamere)
- snop X-zraka pada točno okomito na tu os

## Metoda monokristala

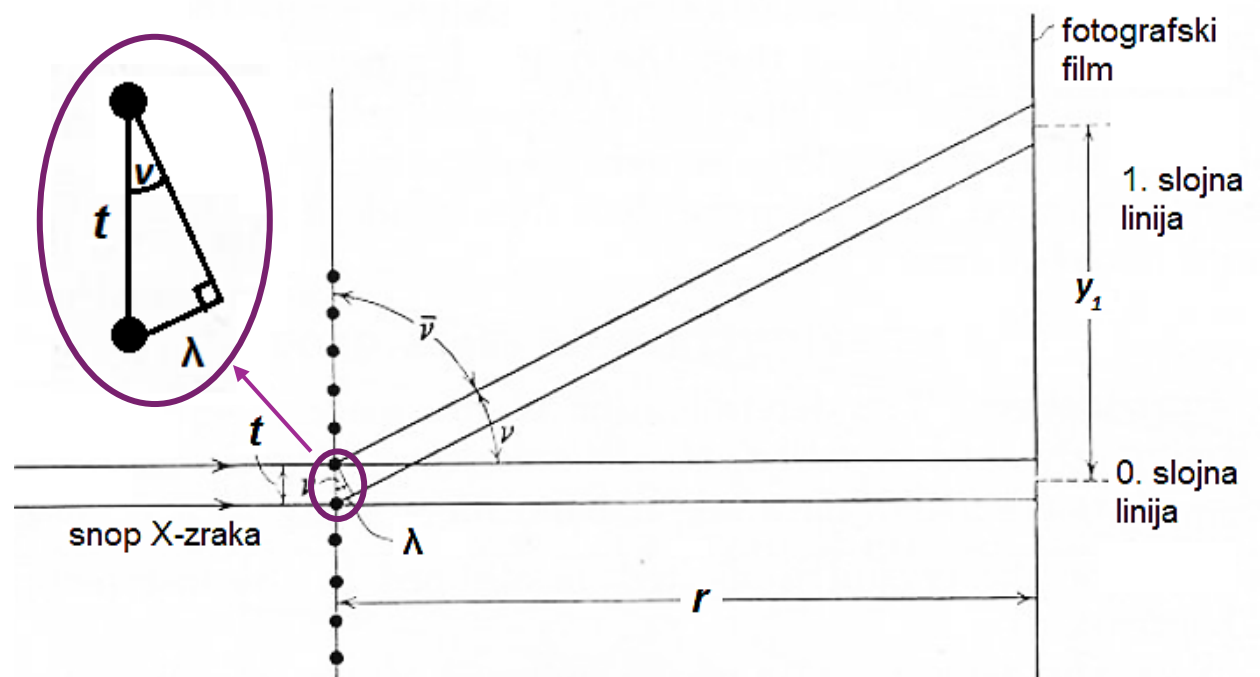
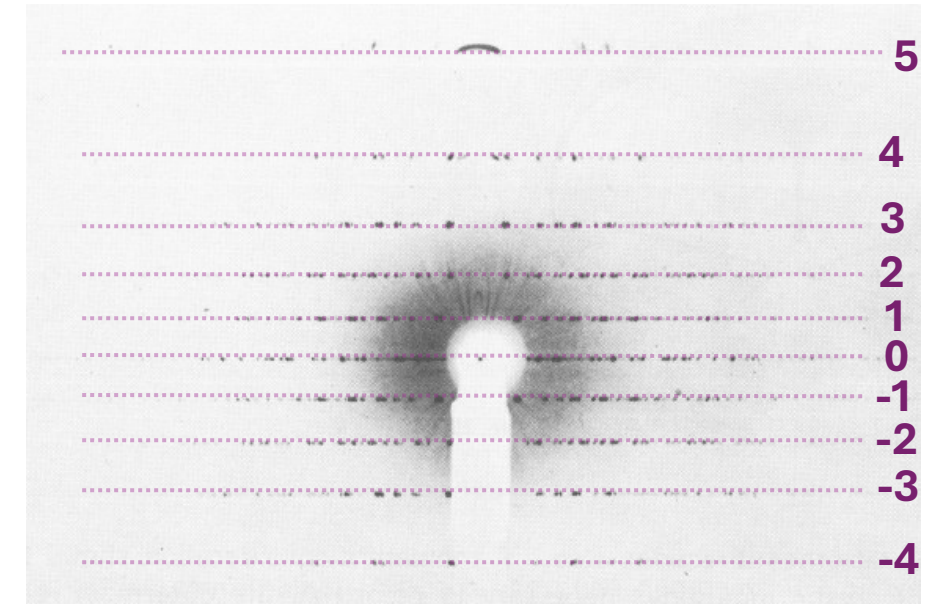
- $t$  = perioda kristalne rešetke u smjeru kristalografske osi namještene paralelno s osi kamere → **parametri jedinične čelije**
- $y_n$  = razmak slojnih linija od nulte slojne linije ( $n$  = red difraktiranog zračenja, tj. broj slojne linije)
- $r$  = radius kamere
- $\lambda$  = valna duljina zračenja, okomito na os kamere

$$\operatorname{tg} \nu = y_n/r$$

$$t = n\lambda / \sin \nu$$

Upotreba:

- **određivanje kristalnih struktura** na temelju prikupljenih podataka o intenzitetima difraktiranog zračenja s velikog broja različitih mrežnih ravnina
- **određivanje dimenzija jedinične čelije**



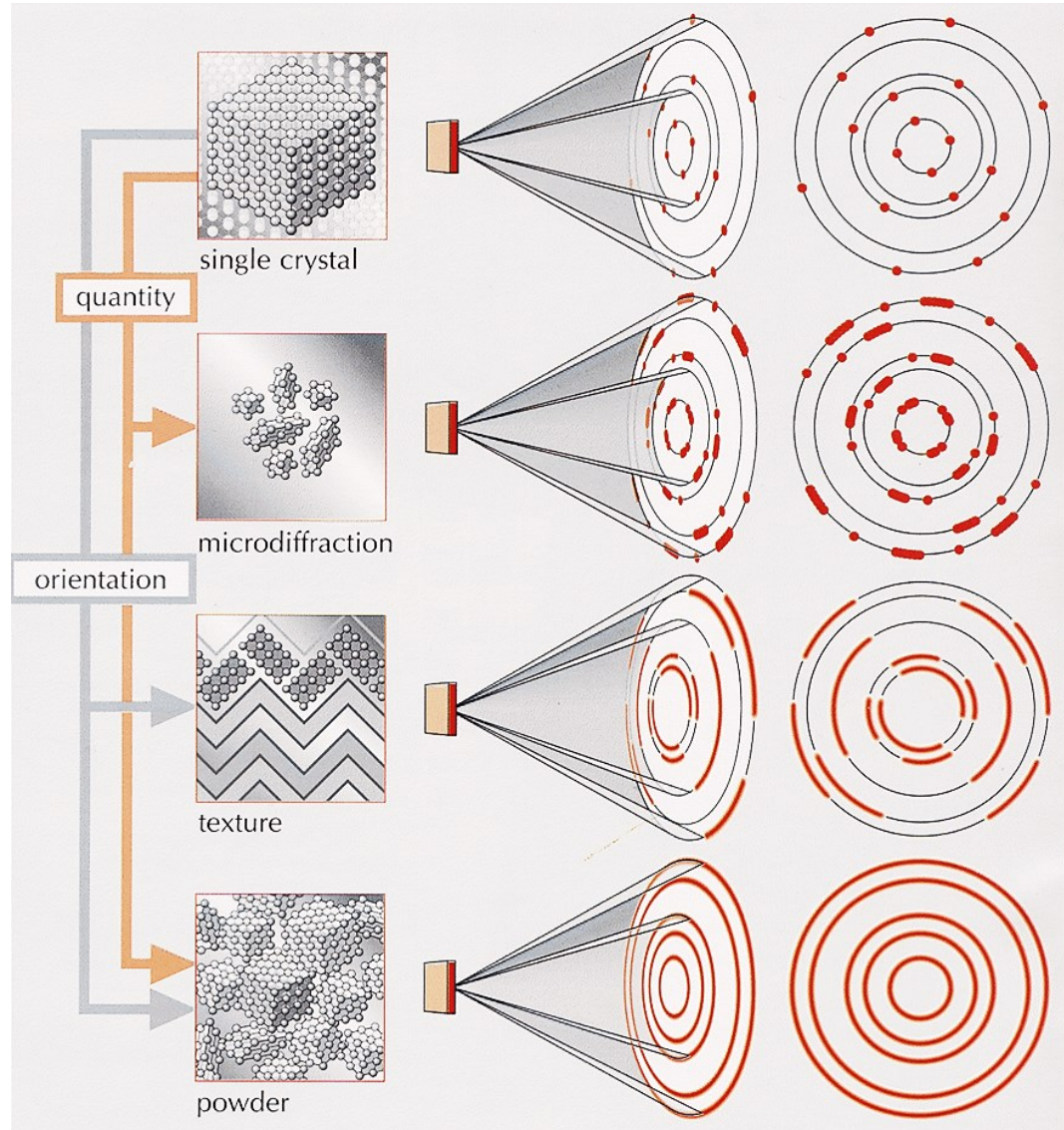
# Metode analize

## Metoda praha

- uzorak se prema definiciji sastoji od **bezbroj čestica** (veličine par do nekoliko desetaka  $\mu\text{m}$ ) pravilne unutrašnje građe koje su u prostoru **orientirane na sve moguće načine (nasumična, statistička orientacija)**  
→ sve mrežne ravnine mogu doći u položaj koji zadovoljava Braggov zakon

### Upotreba:

- određivanje kristaliziranosti materijala
- **kvalitativna fazna analiza**
- kvantitativna fazna analiza
- određivanje kristalne strukture (npr. dimenzija jedinične ćelije)
- određivanje stabilnosti pojedinih polimorfnih modifikacija (potreban instrument koji omogućava snimanje na povišenim temperaturama i tlakovima)
- određivanje veličine čestica

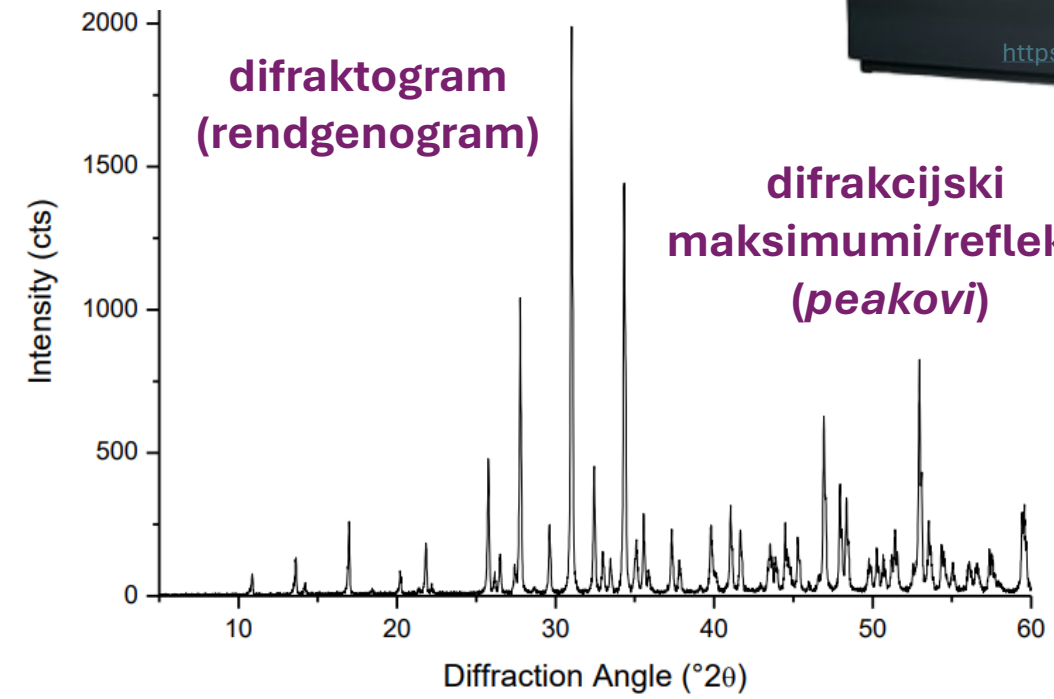
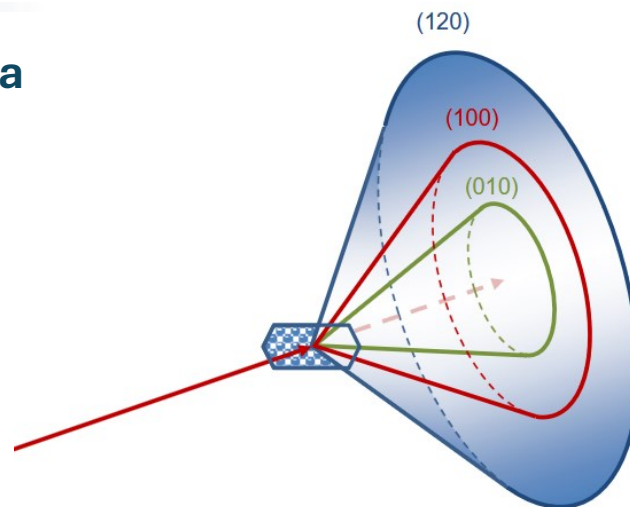
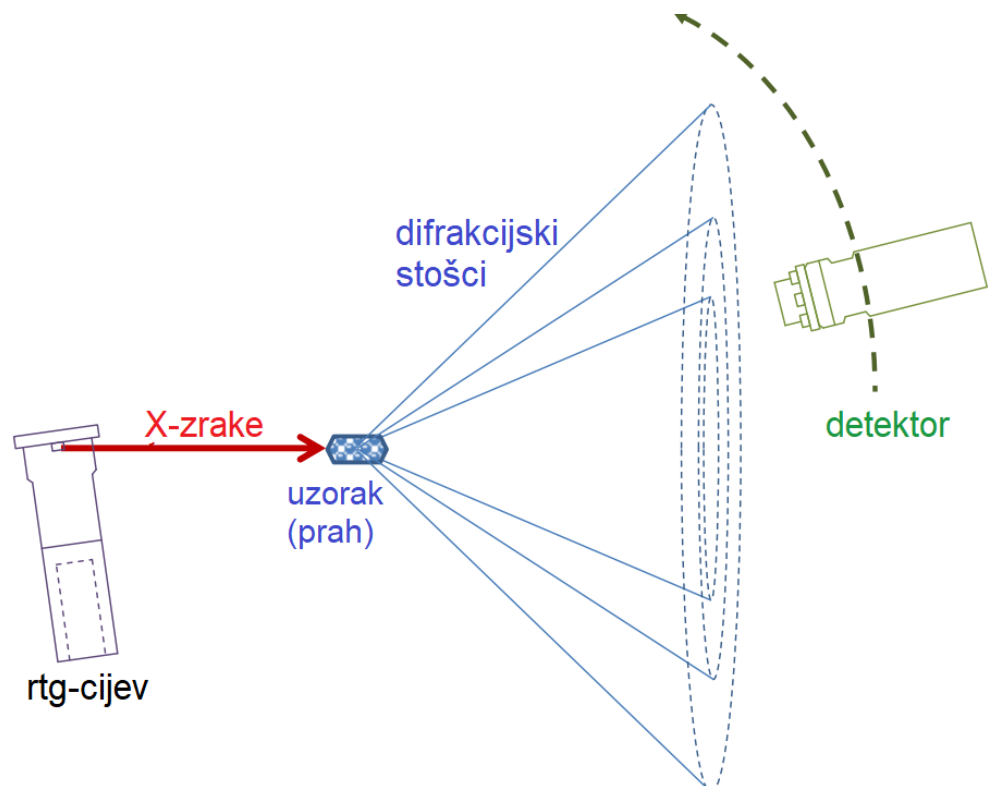


# Metode analize

## Metoda praha – registracija difraktiranih zraka

(1) na brojaču – difraktometar za prah

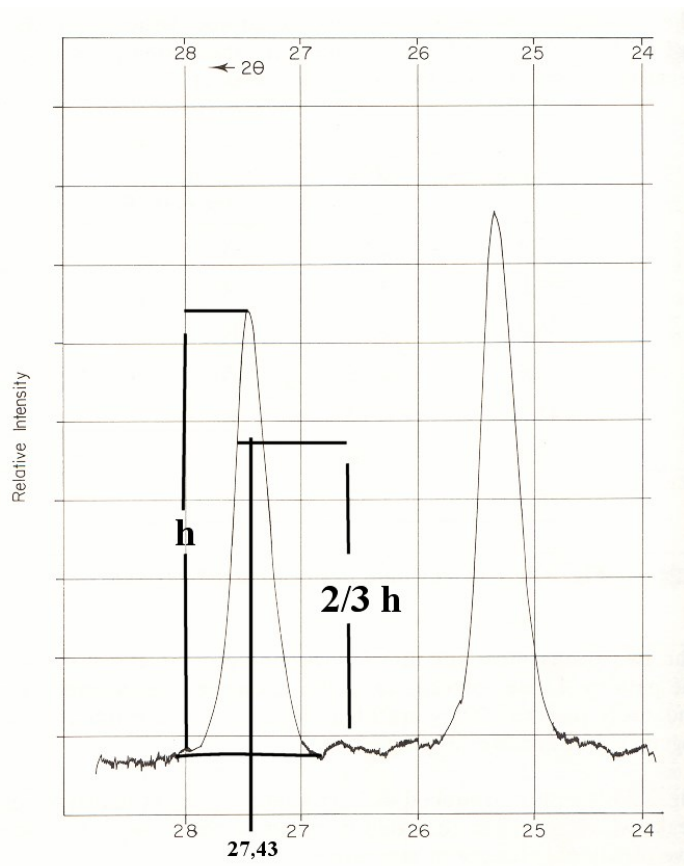
$$n\lambda = 2d \cdot \sin\theta$$



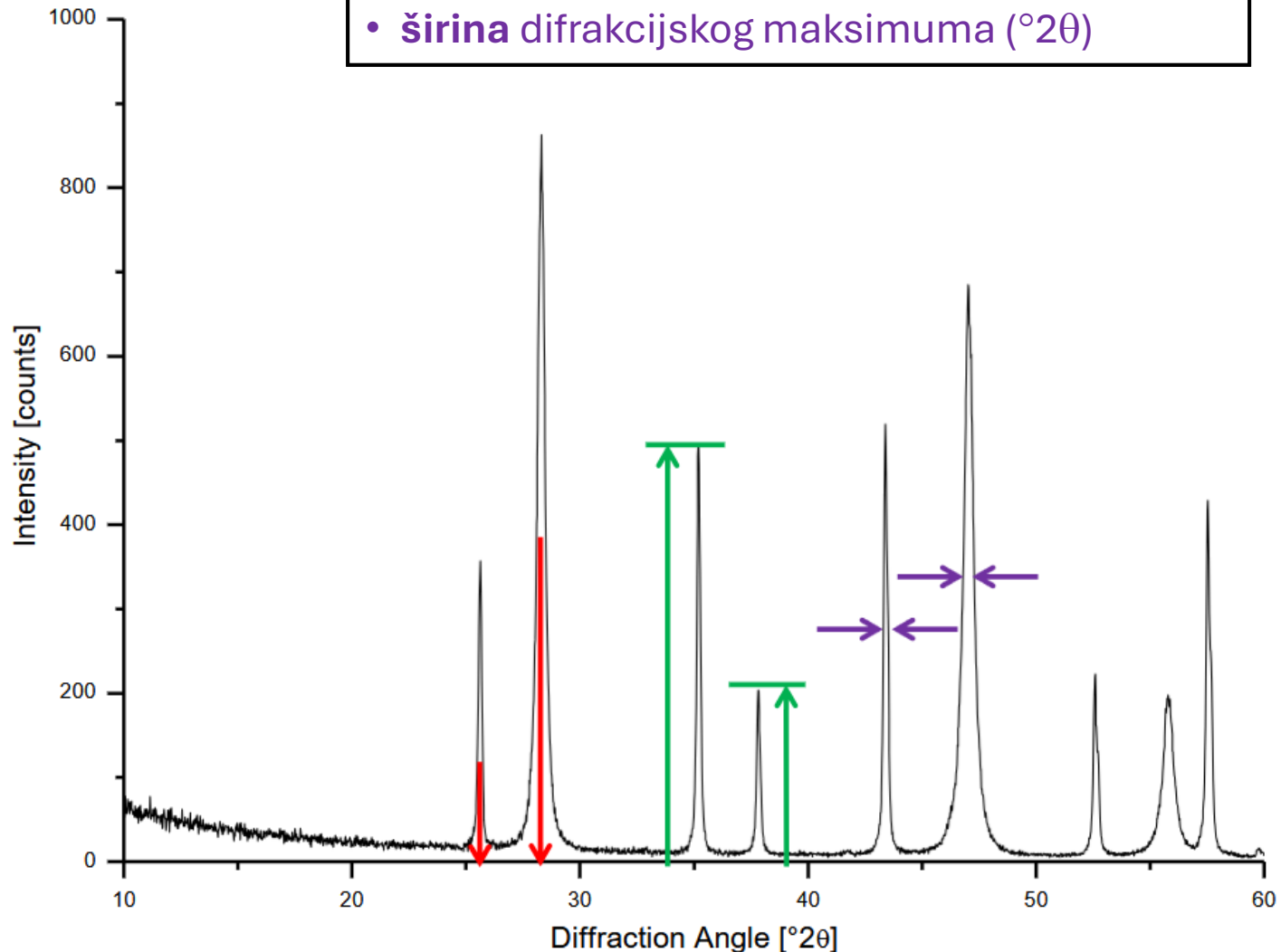
# Difraktogram

## Položaj difrakcijskih maksimuma

- simetrija i dimenzije jedinične čelije → međumrežni razmak ( $d$ )  
→ očitava se kao sredina maksimuma na  $\frac{2}{3}$  njegove visine



- položaj difrakcijskog maksimuma ( $^{\circ}2\theta$ )
- intenzitet difrakcijskog maksimuma (apsolutni – *counts* ili relativni - visina)
- širina difrakcijskog maksimuma ( $^{\circ}2\theta$ )



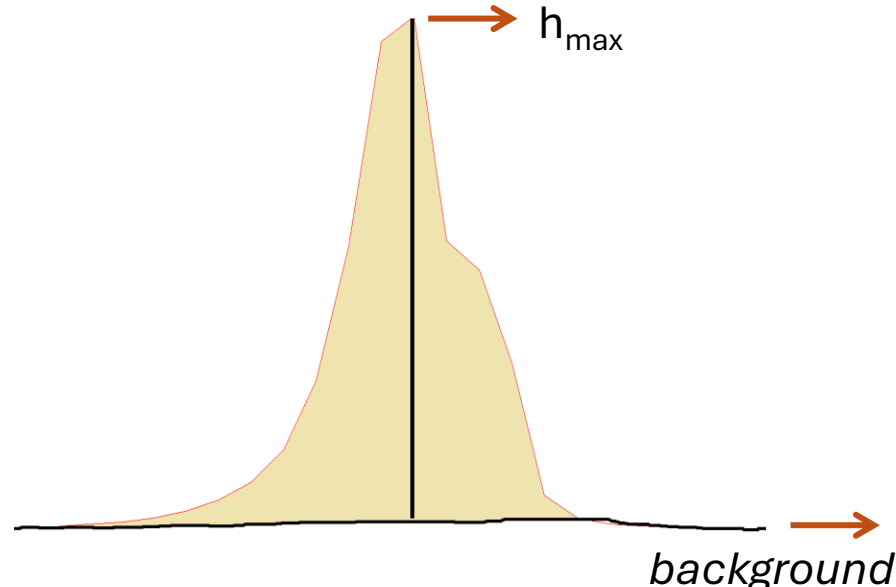
# Difraktogram

## Položaj difrakcijskih maksimuma

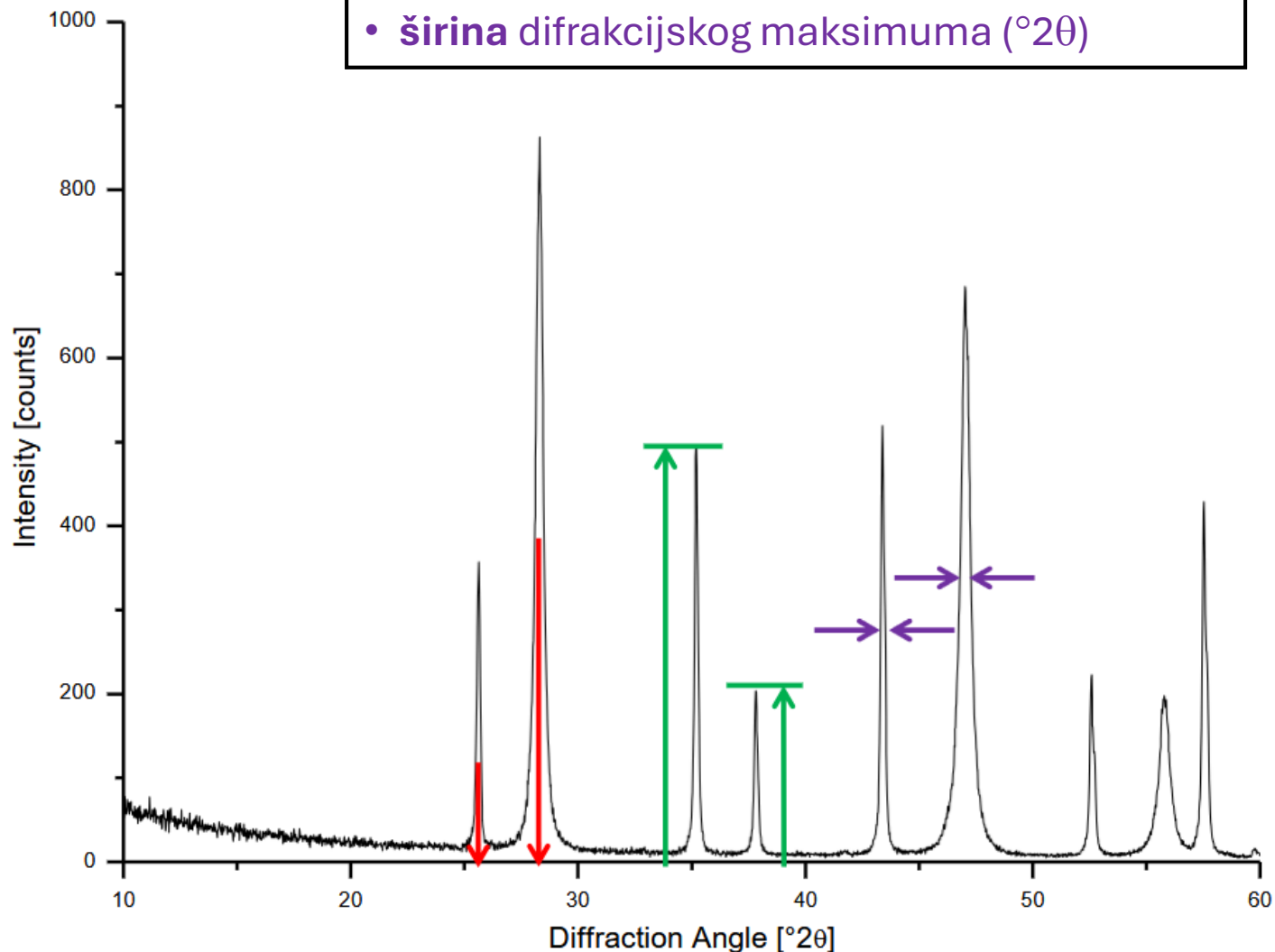
- simetrija i dimenzije jedinične čelije → međumrežni razmak ( $d$ )  
→ očitava se kao sredina maksimuma na **2/3** njegove visine

## Intenzitet difrakcijskih maksimuma

ukupan intenzitet = **cijela površina** difrakcijskog maksimuma → zbog jednostavnosti **samo visina**



- položaj difrakcijskog maksimuma ( $^{\circ}2\theta$ )
- intenzitet difrakcijskog maksimuma (apsolutni – *counts* ili relativni - visina)
- širina difrakcijskog maksimuma ( $^{\circ}2\theta$ )



# Difraktogram

## Položaj difrakcijskih maksimuma

- simetrija i dimenzije jedinične čelije → međumrežni razmak ( $d$ )  
→ očitava se kao sredina maksimuma na **2/3** njegove visine

## Intenzitet difrakcijskih maksimuma

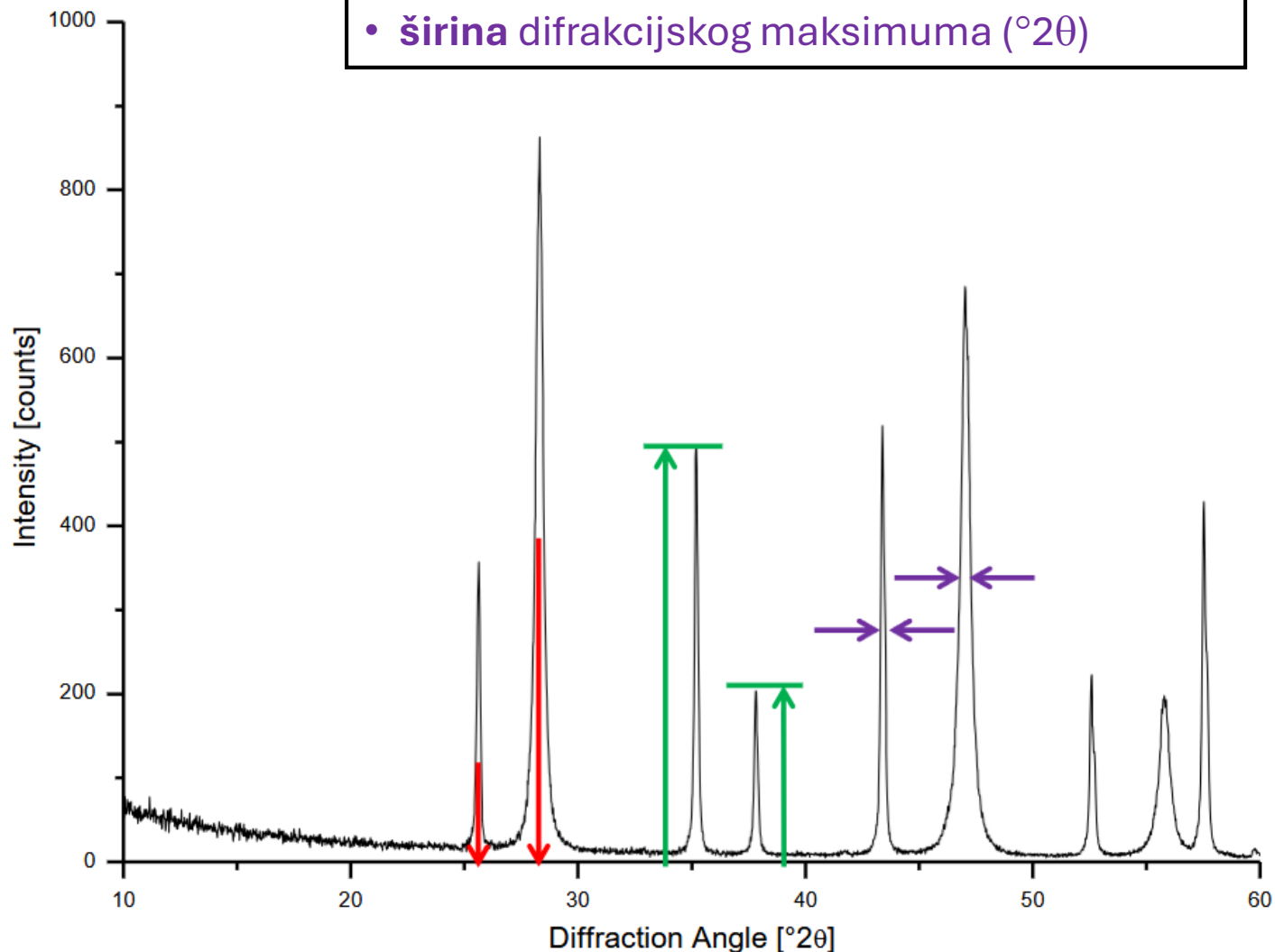
ukupan intenzitet = **cijela površina** difrakcijskog maksimuma → zbog jednostavnosti **samo visina**

- relativni – koordinate i vrste atoma u jediničnoj čeliji  
→ usporedba intenziteta u difraktogramu s intenzitetom najjačeg difrakcijskog maksimuma (100%)
- apsolutni – udio faza u uzorku (*counts*)

## Širina difrakcijskih maksimuma

- kristalinitet (veličina čestica)
- naprezanja u kristalnoj strukturi

- položaj** difrakcijskog maksimuma ( $^{\circ}2\theta$ )
- intenzitet** difrakcijskog maksimuma (apsolutni – *counts* ili relativni - visina)
- širina** difrakcijskog maksimuma ( $^{\circ}2\theta$ )



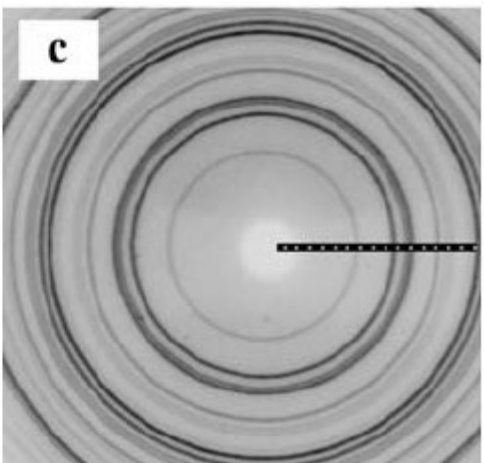
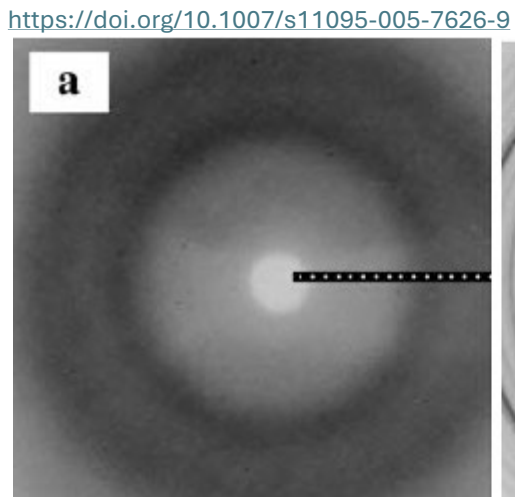
# Upotreba metode praha

## Određivanje kristaliziranosti materijala

$$n\lambda = 2d \cdot \sin\theta$$

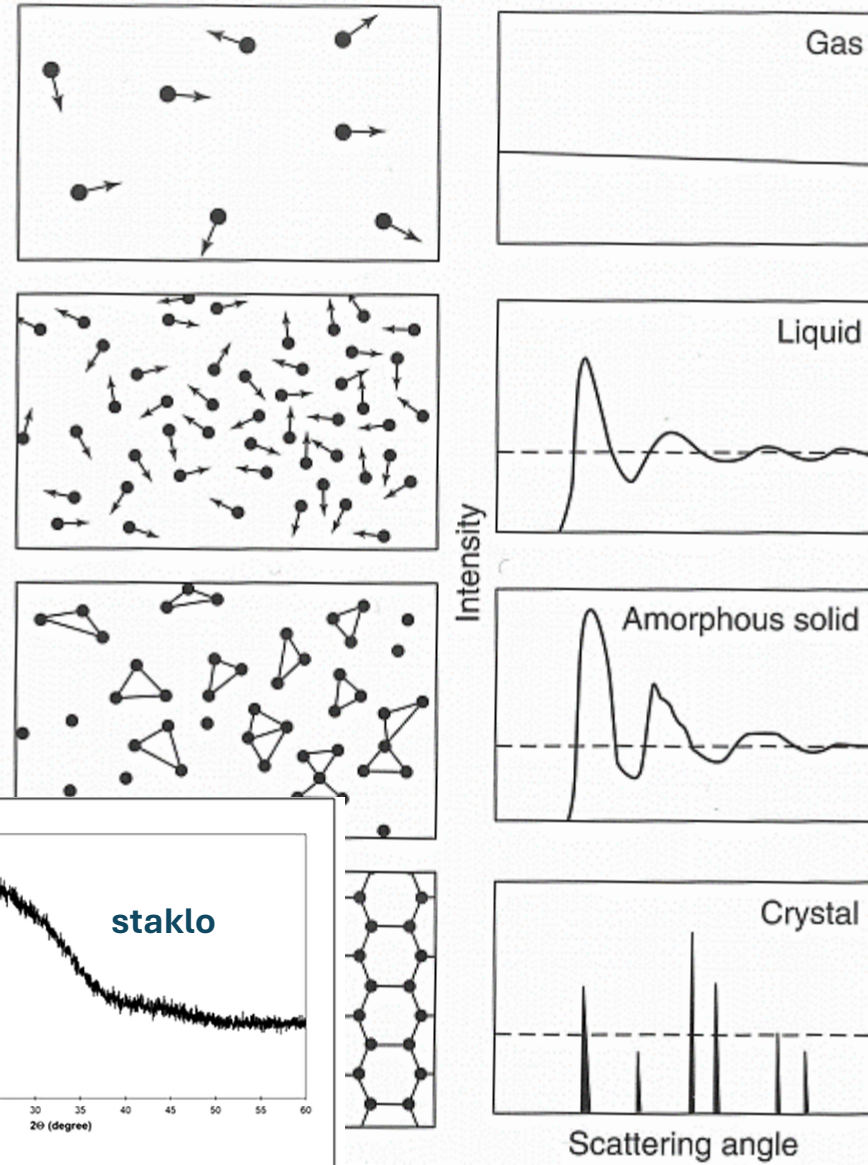
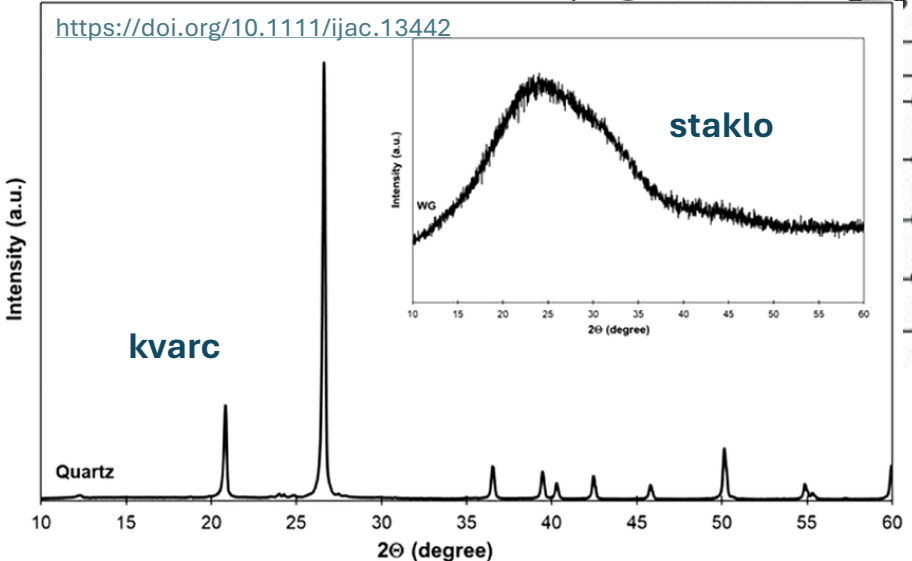
! Difrakcijski maksimumi mogu nastati ako je unutrašnja građa materijala pravilna, tj. do difrakcije dolazi na setu pravilno razmaknutih mrežnih ravnina.

→ amorfni materijal nema difrakcijskih maksimuma



amorfno

kristalizirano



# Upotreba metode praha

## Kvalitativna fazna analiza

! Svaki kristalizirani materijal ima karakterističan rendgenogram praha.

Varijable koje se očitavaju na rendgenogramu:

- **položaj** difrakcijskih maksimuma
- relativni **intenzitet** difrakcijskih maksimuma

→ ovise o karakterističnim svojstvima tog materijala, o sastavu i strukturi (dimenzije jedinične čelije)



PDF (Powder Diffraction File) baze podataka

- Crystallography Open Database (COD)  
<http://www.crystallography.net>
- RRUFF project <https://rruff.info/>

## Upotreba metode praha

## Kvalitativna fazna analiza

5-0490 MINOR CORRECTION

|  |                      |   |        |       |                  |             |
|--|----------------------|---|--------|-------|------------------|-------------|
| d  | 3.34                 | 4.26  | 1.82   | 4.26  | SiO <sub>2</sub> | ★           |
| I/I <sub>1</sub>   | 100                  | 35  | 17     | 35    | SILICON OXIDE    | QUARTZ, LOW |
| Rad. CuKa <sub>1</sub>                                       | λ 1.5404             | Filter Ni   |        | d Å   | I/I <sub>1</sub> | hkl         |
| Dia.   | Cut off              | Coll  |        | 4.26  | 35               | 100         |
| I/I <sub>1</sub> G.C. DIFFRACTOMETER                         |                      | d corr. abs?  |        | 3.343 | 100              | 101         |
| Ref. SWANSON AND FUYAT, NBS CIRCULAR 539, VOL. III<br>(1953) |                      |   |        | 2.458 | 12               | 110         |
| Sys. HEXAGONAL   |                      | S.G. D <sub>3</sub> <sup>4</sup> - P3 <sub>1</sub> 21 |        | 2.282 | 12               | 102         |
| a <sub>o</sub> 4.913   | b <sub>o</sub>       | c <sub>o</sub> 5.405                                  | A      | 2.237 | 6                | 111         |
| α  | β                    | γ   | C 1.10 | 2.128 | 9                | 200         |
| Ref. IBID.   |                      | Z 3   |        | 1.980 | 6                | 201         |
| nα   | nωβ                  | 1.5448  | ny     | 1.533 | Sign +           |             |
| 2V   | D <sub>x</sub> 2.647 | mp  | Color  | 1.817 | 17               | 112         |
| Ref. IBID.   |                      |   |        | 1.801 | <1               | 003         |
| Sample from Lake Toxaway, N.C. Spect. Anal.:                 |                      |   |        | 1.672 | 7                | 202         |
| <0.01% Al; <0.001% Ca,Cu,Fe,Mg.                              |                      |   |        | 1.659 | 3                | 103         |
| X-ray pattern at 25°C  |                      |   |        | 1.608 | <1               | 210         |
|  |                      |   |        | 1.541 | 15               | 211         |
|  |                      |   |        | 1.453 | 3                | 113         |
|  |                      |   |        | 1.418 | <1               | 300         |
|  |                      |   |        | 1.382 | 7                | 212         |
|  |                      |   |        | 1.375 | 11               | 203         |
|  |                      |   |        | 1.372 | 9                | 301         |
|  |                      |   |        | 1.288 | 3                | 104         |
|  |                      |   |        | 1.256 | 4                | 302         |
| 3-0427, 3-0444   |                      |   |        |       |                  |             |
| REPLACES 1-0649, 2-0458, 2-0459, 2-0471, 3-0419              |                      |   |        |       |                  |             |

# Upotreba metode praha

## Kvalitativna fazna analiza

! Svaki kristalizirani materijal ima karakterističan rendgenogram praha.



Varijable koje se očitavaju na rendgenogramu:

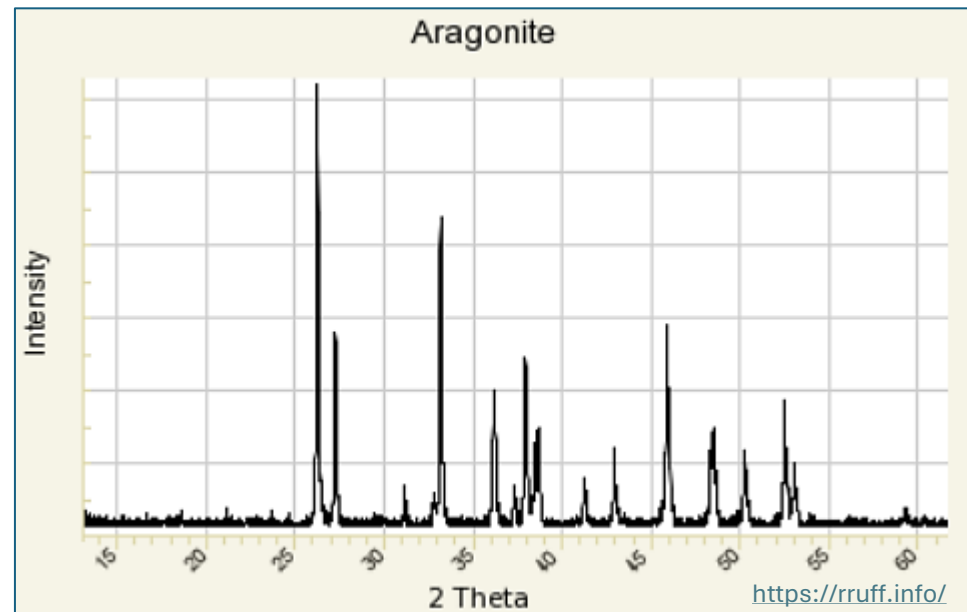
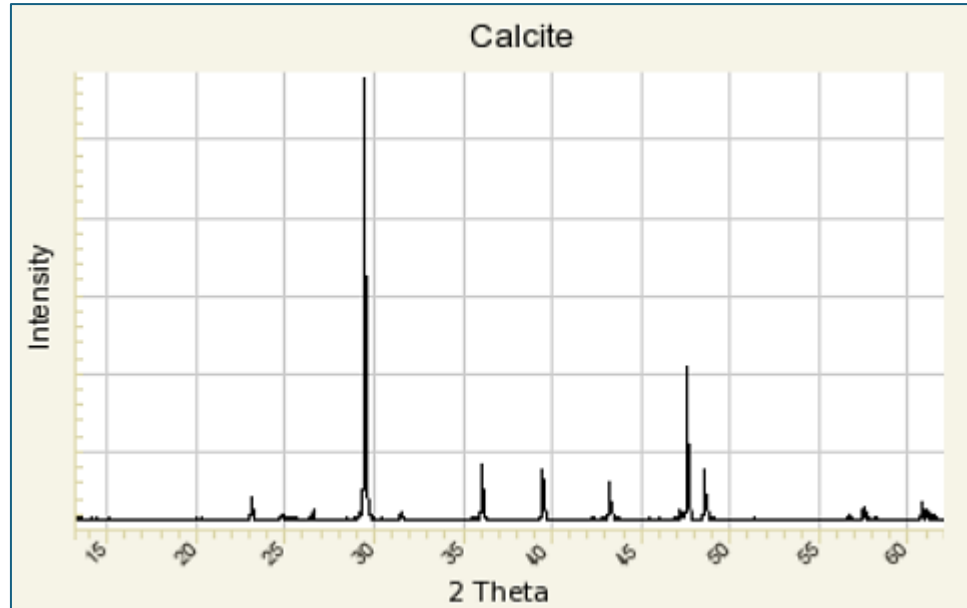
- položaj difrakcijskih maksimuma
- relativni intenzitet difrakcijskih maksimuma

→ ovise o karakterističnim svojstvima tog materijala, o sastavu i strukturi (dimenzije jedinične ćelije)

PDF (Powder Diffraction File) baze podataka

- Crystallography Open Database (COD)  
<http://www.crystallography.net>
- RRUFF project <https://rruff.info/>

? Razlikovanje polimorfnih modifikacija



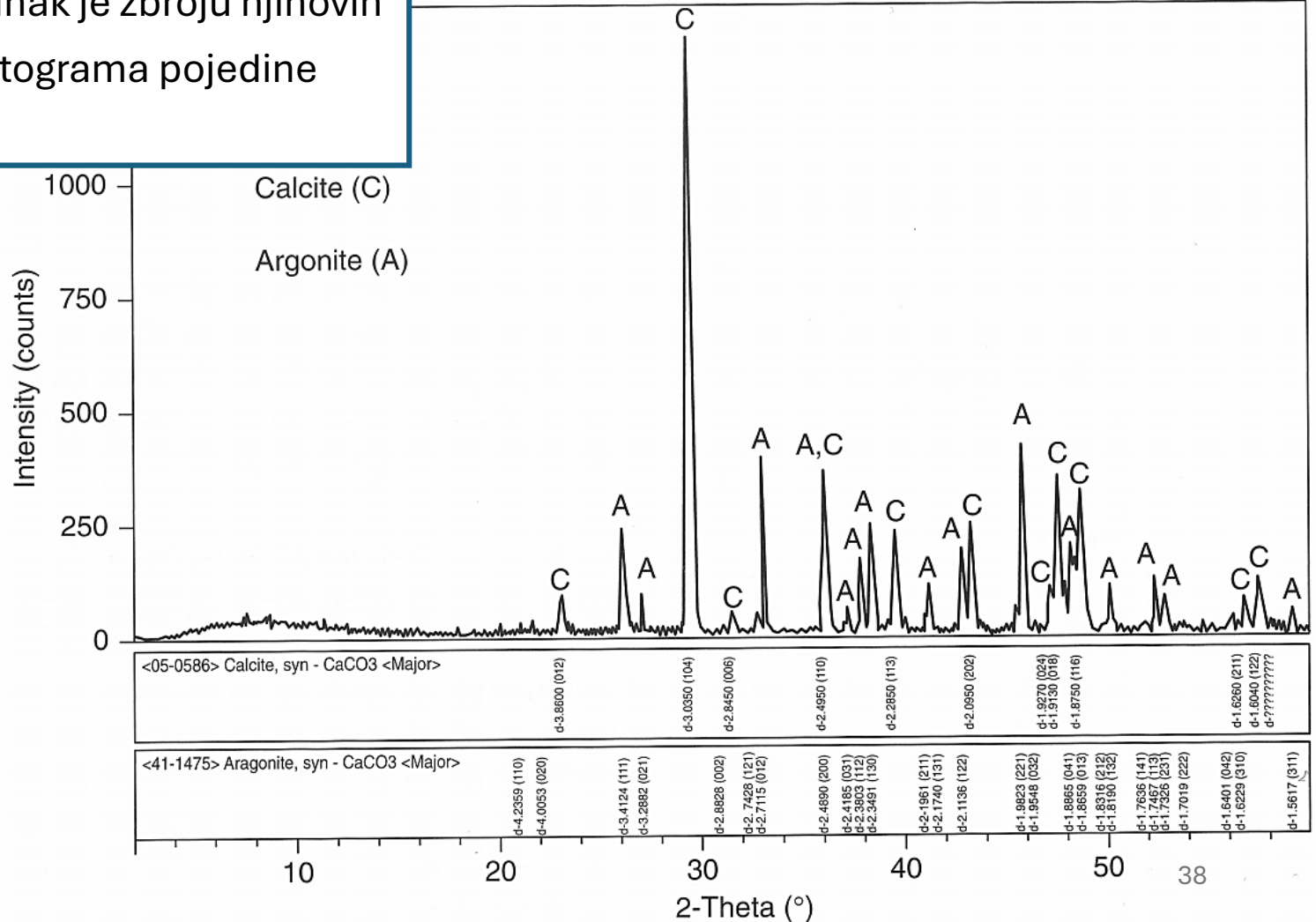
# Upotreba metode praha

## Kvantitativna fazna analiza

= određivanje udjela nekog materijala u smjesi

! Difraktogram smjese dvije ili više faza jednak je zbroju njihovih difraktograma, pri čemu intenzitet difraktograma pojedine faze ovisi o njezinom udjelu u toj smjesi.

Preuzeto iz Hibbard (2002).



# Upotreba metode praha

## Problem preferirane orijentacije

### Preferirana orijentacija

= individui nisu orijentirani nasumično (statistički) nego preteže neka orijentacija zbog:

- oblika individua (listići, štapići)
- kalavosti
- primjene sile

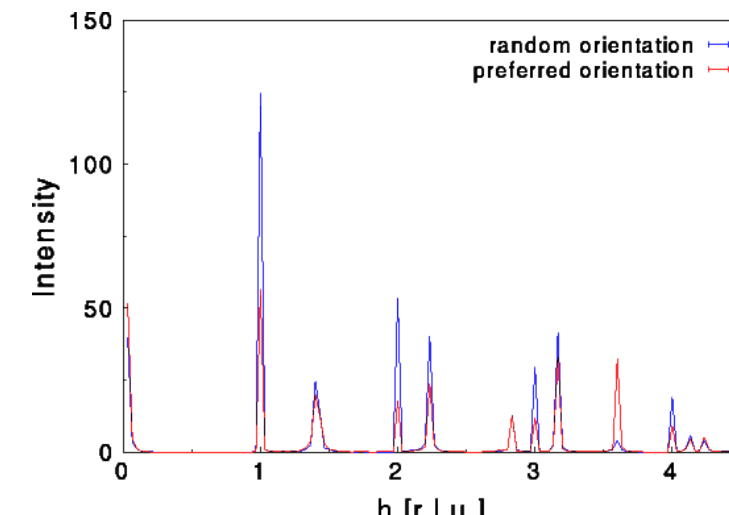
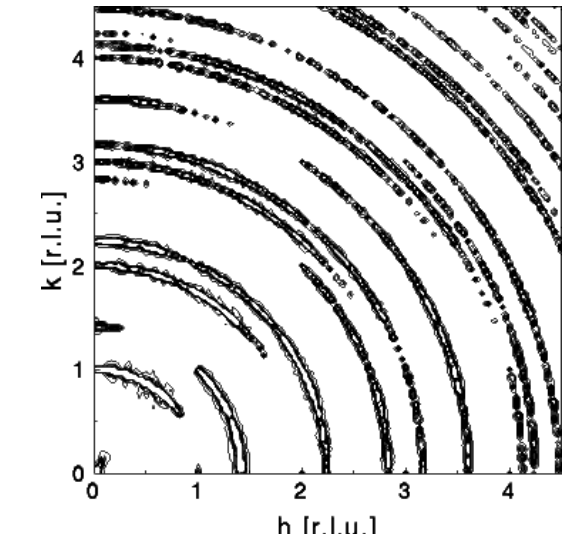
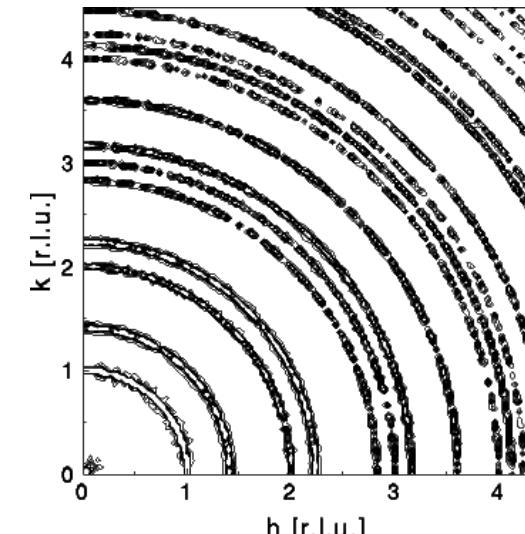
→ difrakcijski maksimumi s određenih mrežnih ravnina prezastupljeni su (jačih intenziteta) u odnosu na druge mrežne ravnine

! Lako prepoznati na filmu, ali je problem prepoznavanja na difraktogramu.

! Ponekad poželjna – pr. istraživanja minerala glina.

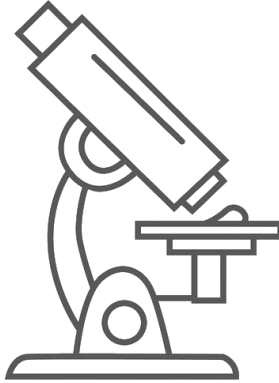
nasumična orijentacija

vs. preferirana orijentacija



# Elektronska mikroskopija

**Elektronski mikroskop** = promatranje uzorka pomoću snopa elektrona

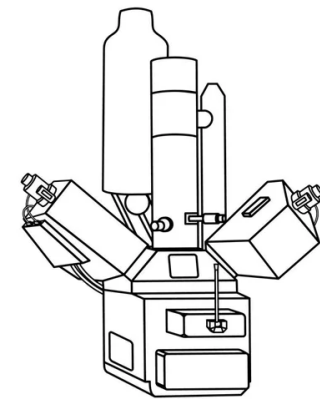


## Optički mikroskop

- max povećanje: 1000 x
  - max rezolucija: 0,0002 mm
- ograničenja zbog fizičkih svojstava  
vidljive svjetlosti (valne duljine)



rezolucija oka: 0,2 mm



## Elektronski mikroskop

- max povećanje: >1.000.000 x
- max rezolucija: 1 Å

! Ubrzani elektroni u vakuumu ponašaju se poput svjetlosti vrlo kratke valne duljine.

! Električno i magnetno polje na elektrone imaju isti učinak kao što staklene leće i zrcala imaju na vidljivu svjetlost.

# Elektronska mikroskopija

Vrste elektronskih mikroskopa:

- 1) Skenirajući (pretražujući) elektronski mikroskop (SEM)
- 2) Transmisijski elektronski mikroskop (TEM)
  - Visoko razlučivi transmisijski elektronski mikroskop (HRTEM)

## Elektronska mikroproba/mikrosonda (EPMA)



SEM



TEM

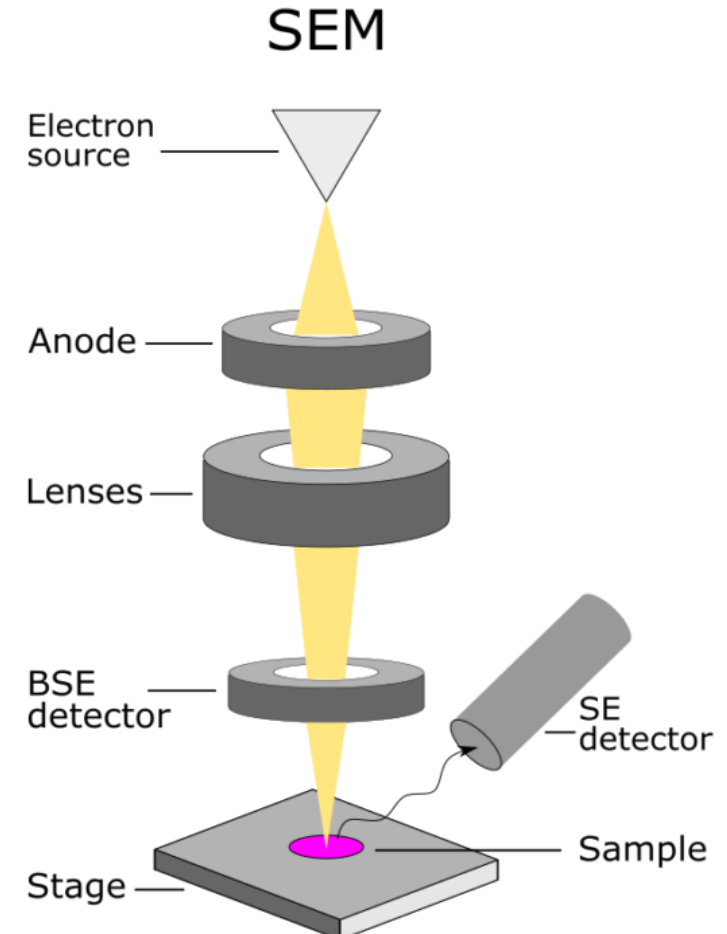


EPMA

# Elektronska mikroskopija – SEM

## Skenirajući (pretražujući) elektronski mikroskop (SEM)

- proučavanje izgleda površine uzorka (topografije)  
→ skeniranje uzorka snopom elektrona → interakcija  
s uzorkom → detekcija signala → slika
- uzorak: 3D
- priprema uzorka: naparivanje zlatom za provodljivost

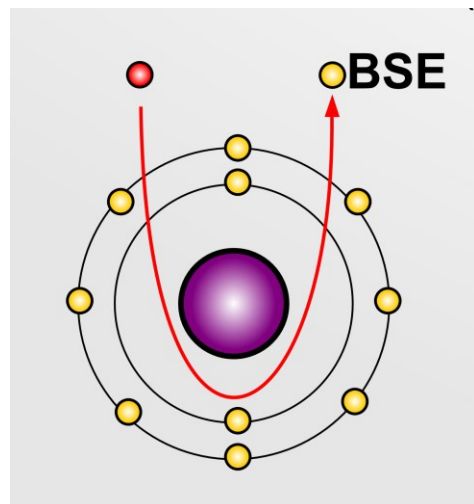
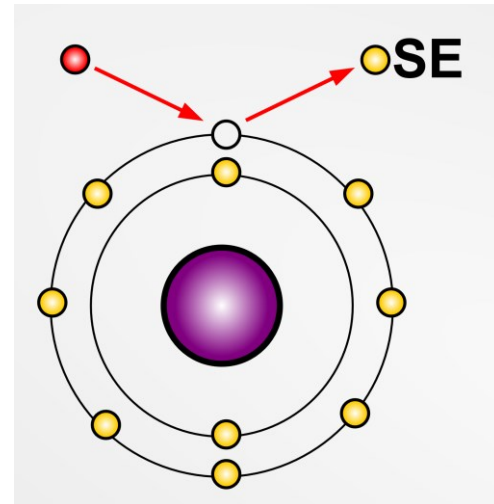


<https://anapath.ch/electron-microscopy-2/>

# BSE vs. SE

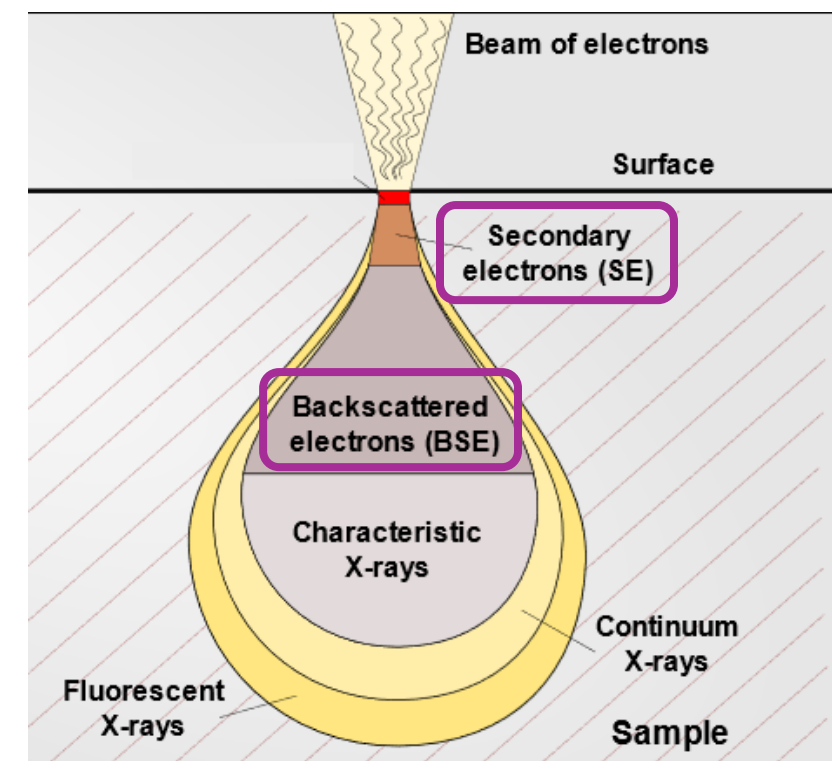
## Sekundarni elektroni, SE (engl. secondary electrons)

- elektroni izbačeni iz uzorka uslijed bombardiranja snopom elektrona (dubine tek nekoliko nm)
  - manjih energija (<50 eV)



## Povratno raspršeni elektroni, BSE (engl. back-scattered electrons)

- elektroni odbijeni pod kutom većim od  $90^\circ$ 
  - većih energija (1000 eV)
  - koeficijent povratnog raspršenja ( $\eta$ ) → ovisi o  $Z$
- veći  $Z$  (teži element) = više odbijanja = svjetlija slika



## Upotreba:

- prikaz **topografije** (češće SE)
- prikazivanje **razlike u sastavu** sa ravnih površina (samo BSE!) → ovisno o  $Z$ : veći  $Z$  = svjetlija slika)

# BSE vs. SE

## Sekundarni elektroni, SE (engl. secondary electrons)

- elektroni izbačeni iz uzorka uslijed bombardiranja snopom elektrona (dubine tek nekoliko nm)
  - manjih energija (<50 eV)

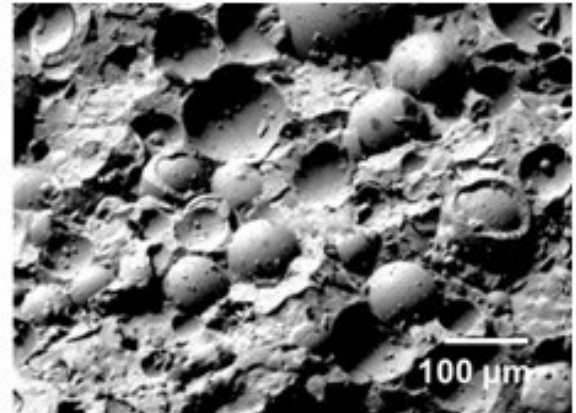
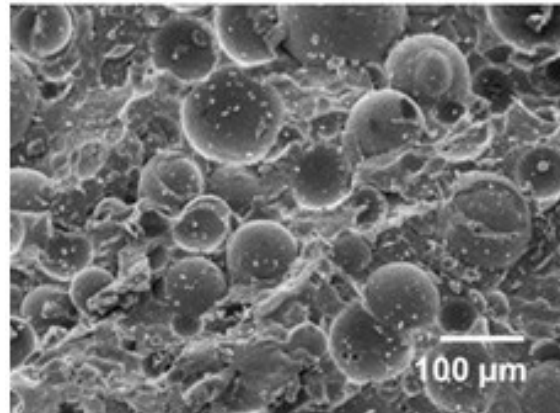
## Povratno raspršeni elektroni, BSE (engl. back-scattered electrons)

- elektroni odbijeni pod kutom većim od  $90^\circ$ 
  - većih energija (1000 eV)
  - koeficijent povratnog raspršenja ( $\eta$ ) → ovisi o Z
- veći Z (teži element) = više odbijanja = svjetlija slika

### Upotreba:

- prikaz **topografije** (češće SE)
- prikazivanje **razlike u sastavu** sa ravnih površina (samo BSE! → ovisno o Z: veći Z = svjetlija slika)

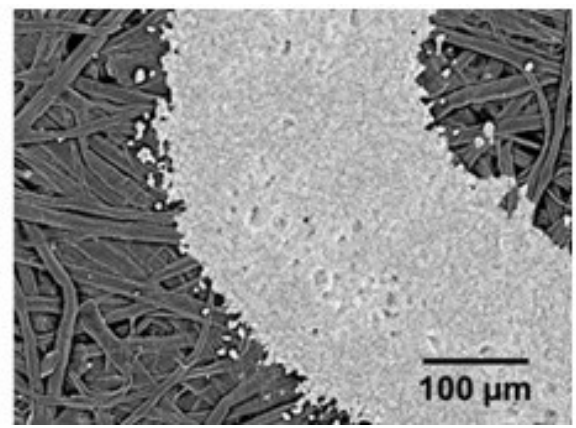
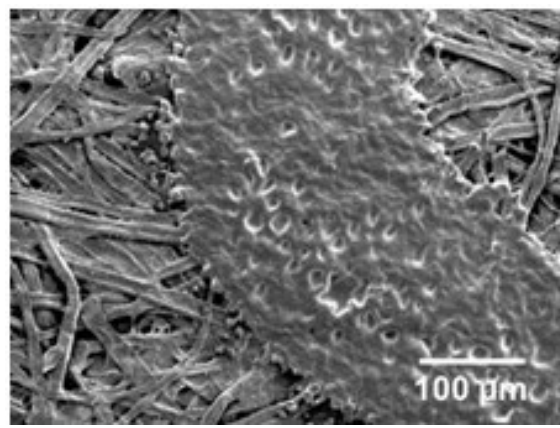
### 3D uzorak



SE – slika „bez sjena”

BSE – naglašene sjene

### 2D uzorak



SE – topografija

BSE – razlika u kem. sastavu

# BSE vs. SE

## Sekundarni elektroni, SE (engl. secondary electrons)

- elektroni izbačeni iz uzorka uslijed bombardiranja snopom elektrona (dubine tek nekoliko nm)
- manjih energija (<50 eV)

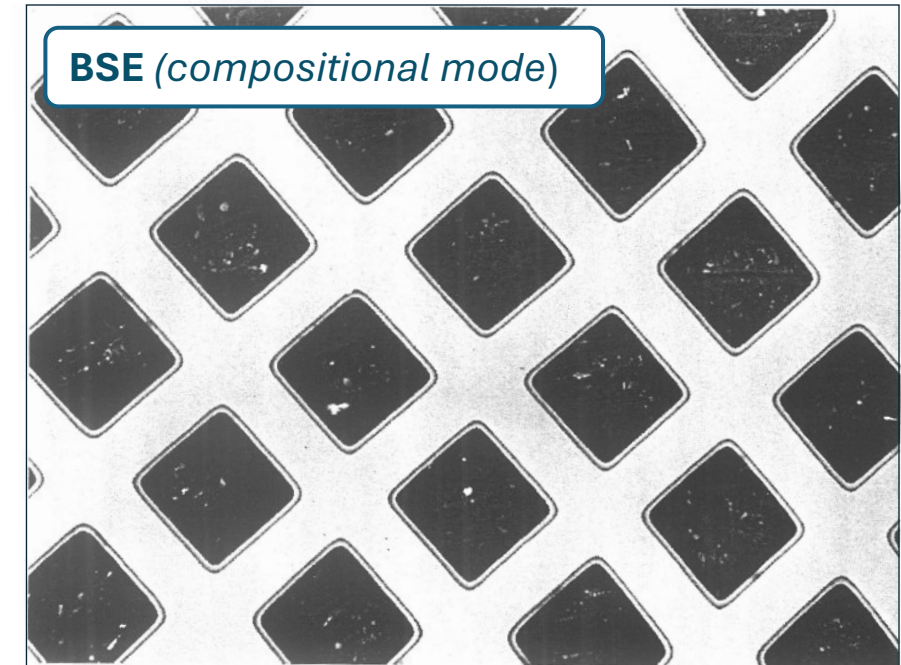
## Povratno raspršeni elektroni, BSE (engl. back-scattered electrons)

- elektroni odbijeni pod kutom većim od  $90^\circ$
- većih energija (1000 eV)
- koeficijent povratnog raspršenja ( $\eta$ ) → ovisi o Z
- veći Z (teži element) = više odbijanja = svjetlija slika

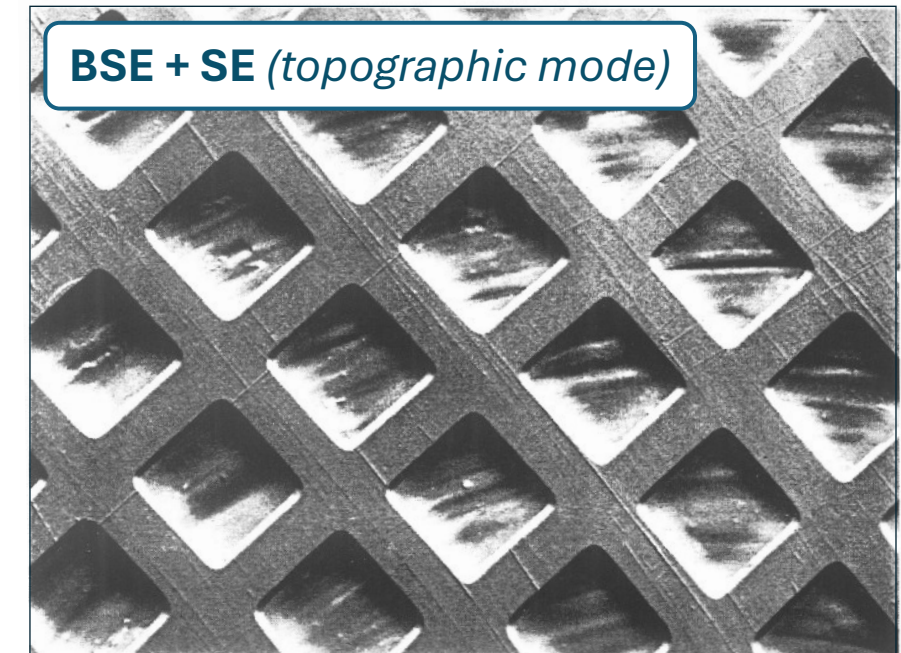
### Upotreba:

- prikaz **topografije** (češće SE)
- prikazivanje **razlike u sastavu** sa ravnih površina (samo BSE!) → ovisno o Z: veći Z = svjetlija slika)

BSE (compositional mode)



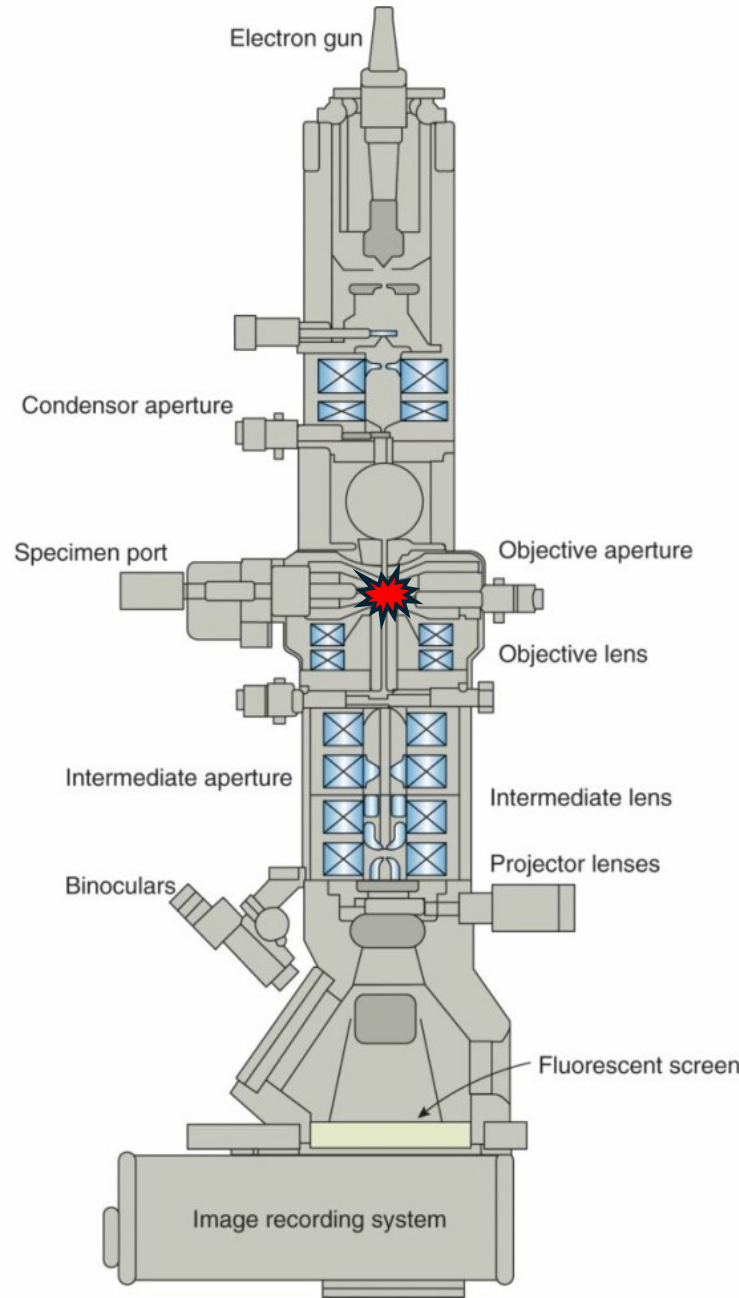
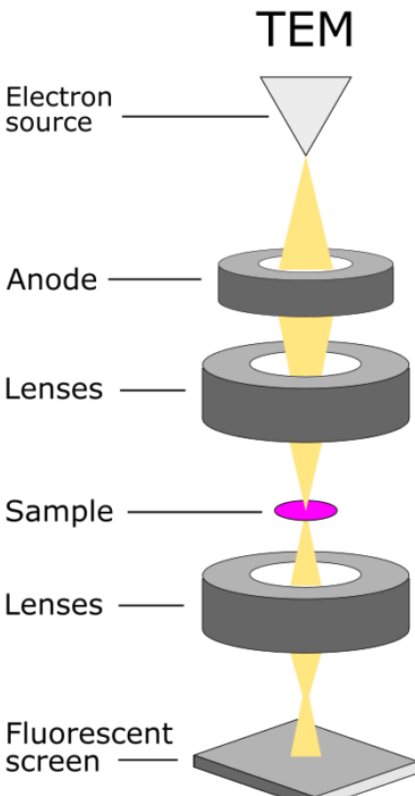
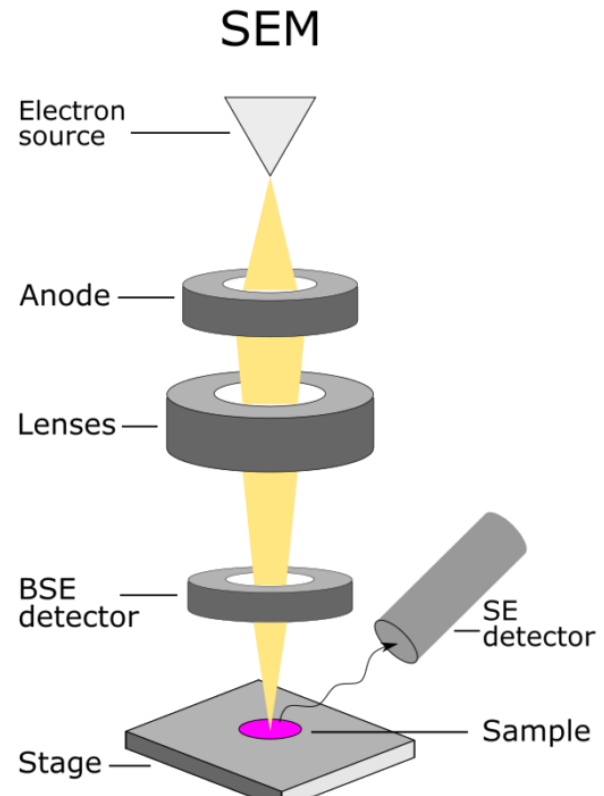
BSE + SE (topographic mode)



# Elektronska mikroskopija – TEM

## Transmisijski elektronski mikroskop (TEM)

- proučavanje strukture (vidljivi pojedini atomi!)
- snop elektrona prolazi kroz uzorak (debljina do nekoliko stotina nm) → detekcija signala → slika
- uzorak: 2D (100–200 nm)

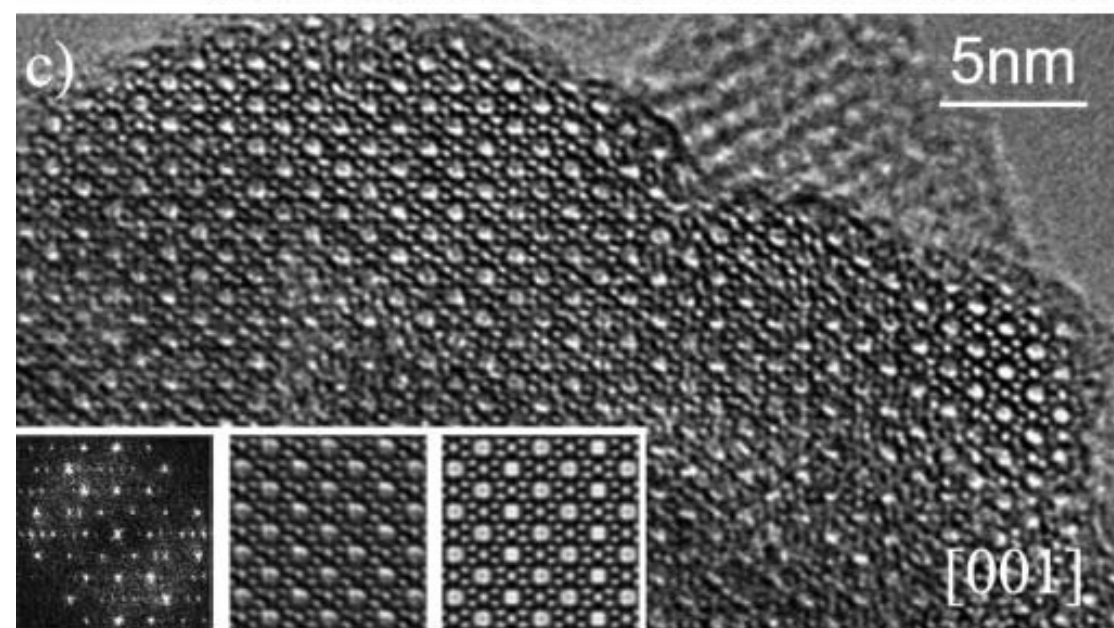
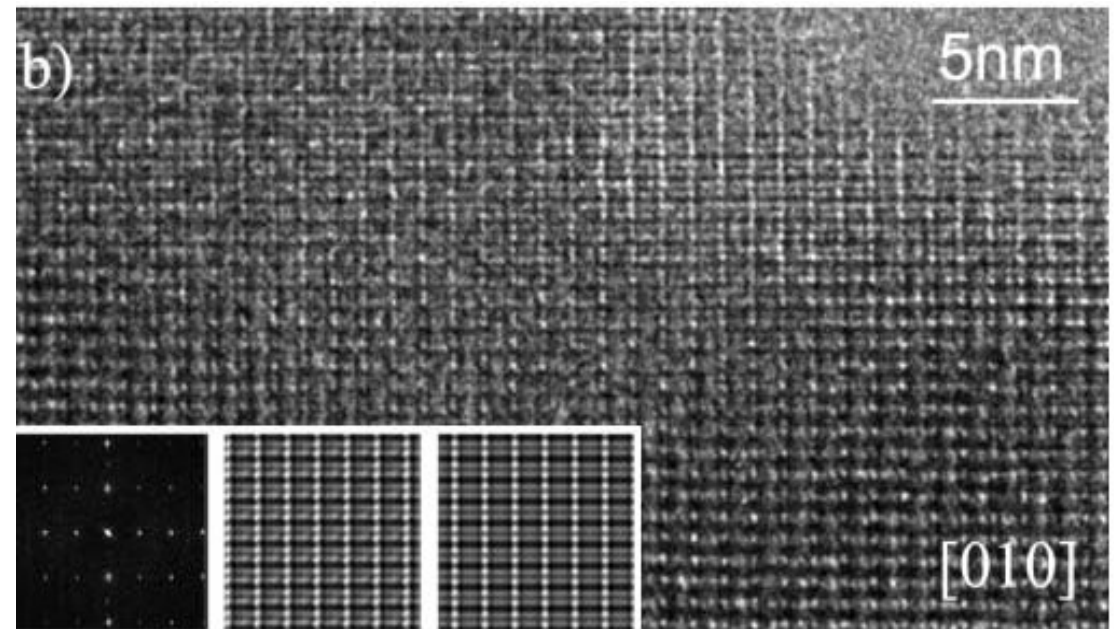
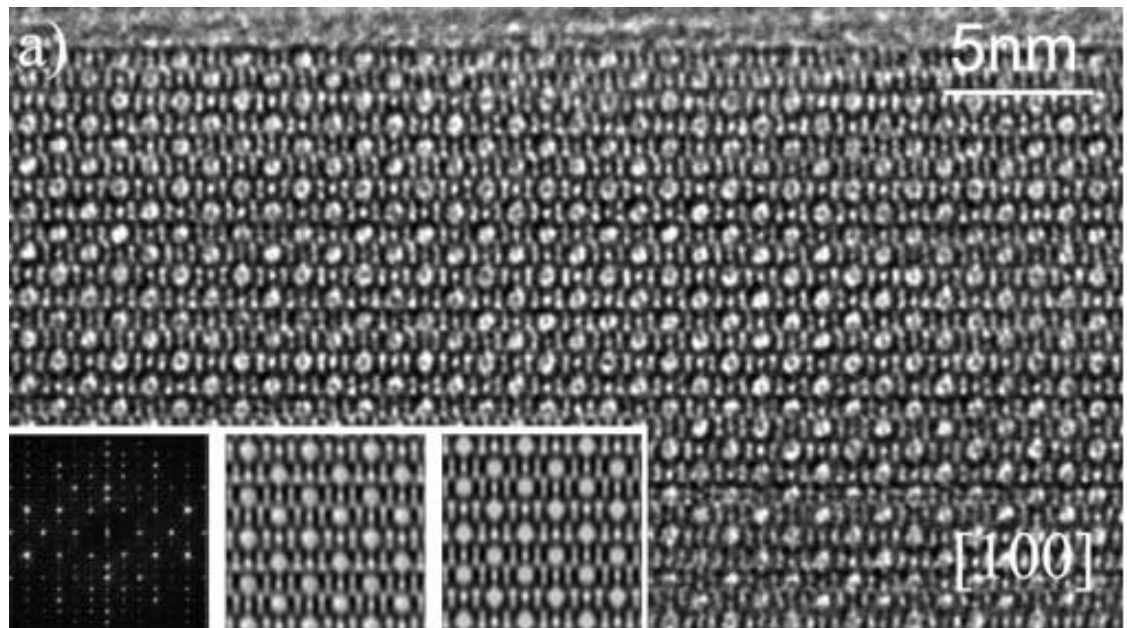


Preuzeto iz Klein & Philpotts (2013).

# Elektronska mikroskopija – TEM

**HRTEM slike strukture minerala iz skupine  
zeolita, pogled duž tri kristalografske osi.**

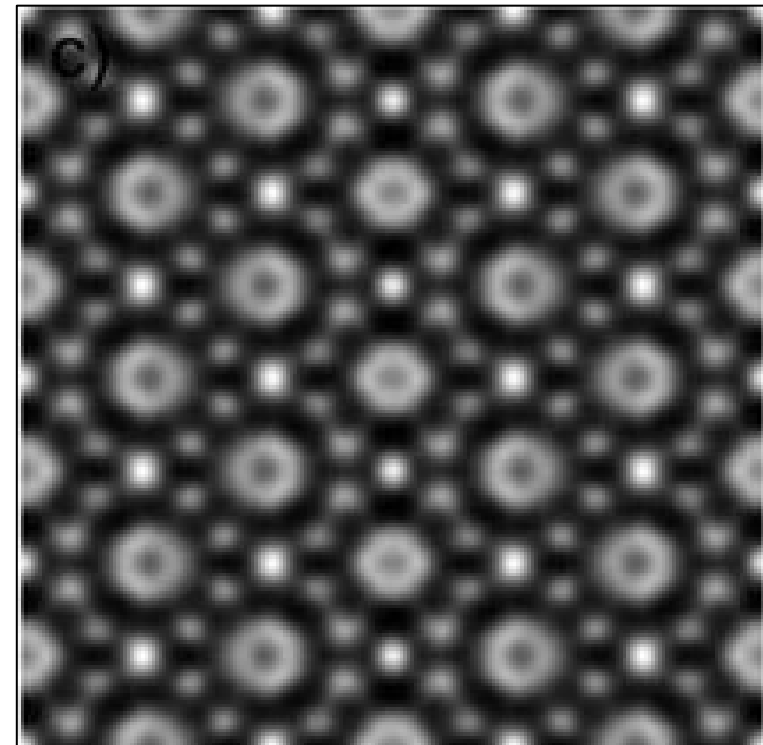
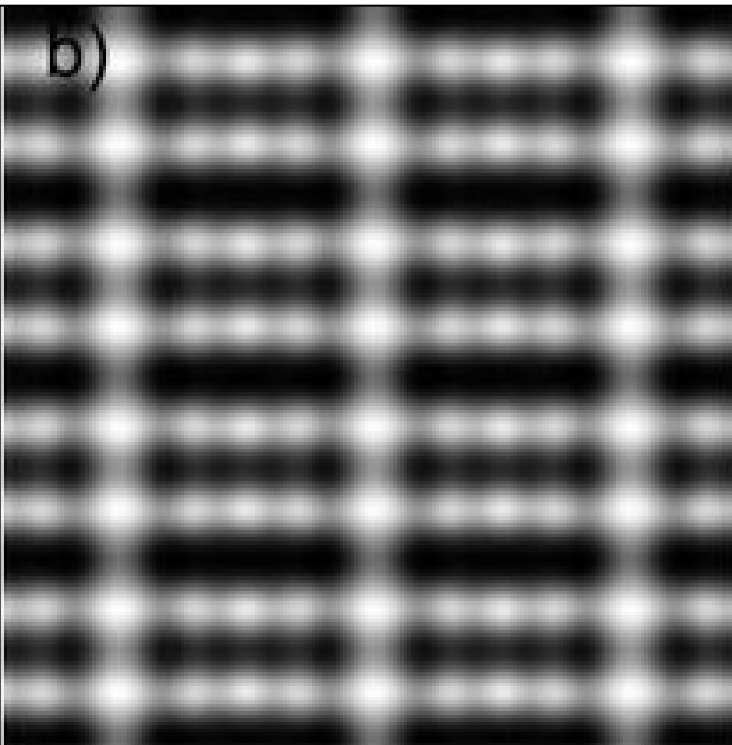
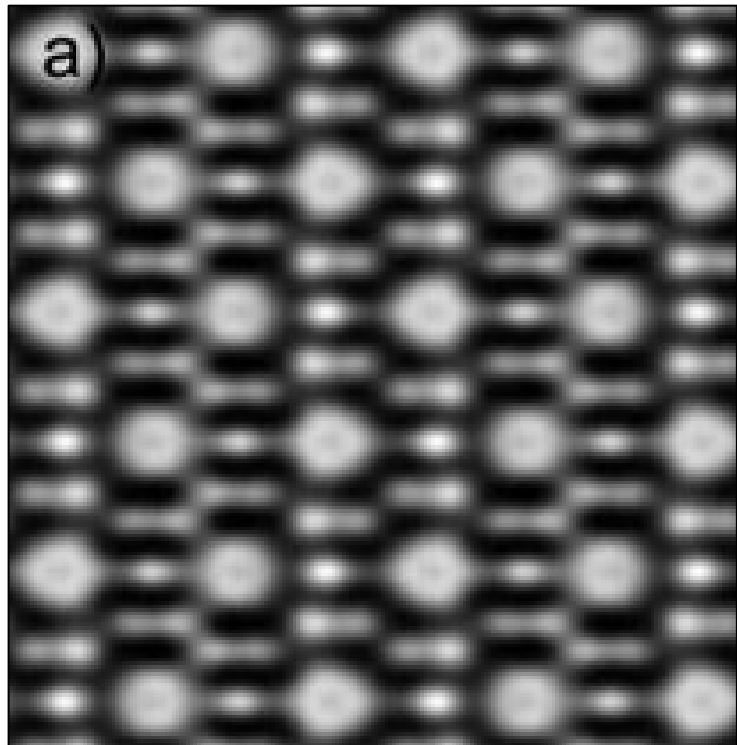
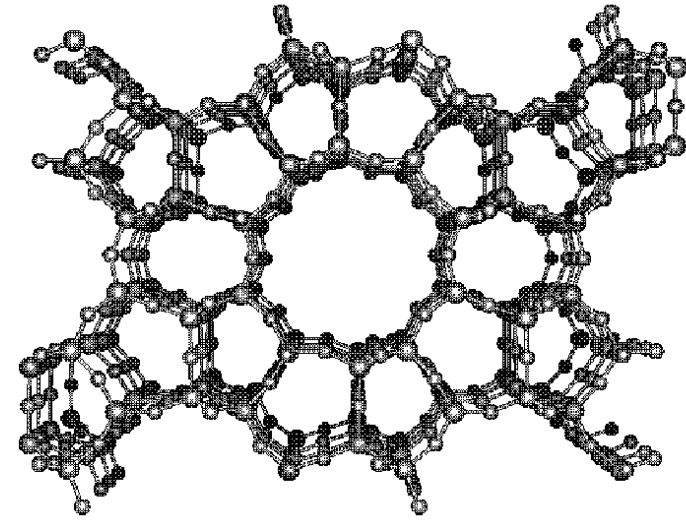
Preuzeto iz Sun et al. (2010): Structure determination of the zeolite IM5  
using electron crystallography. <https://doi.org/10.1524/zkri.2010.1204>



# Elektronska mikroskopija – TEM

**HRTEM slike strukture minerala iz skupine  
zeolita, pogled duž tri kristalografske osi.**

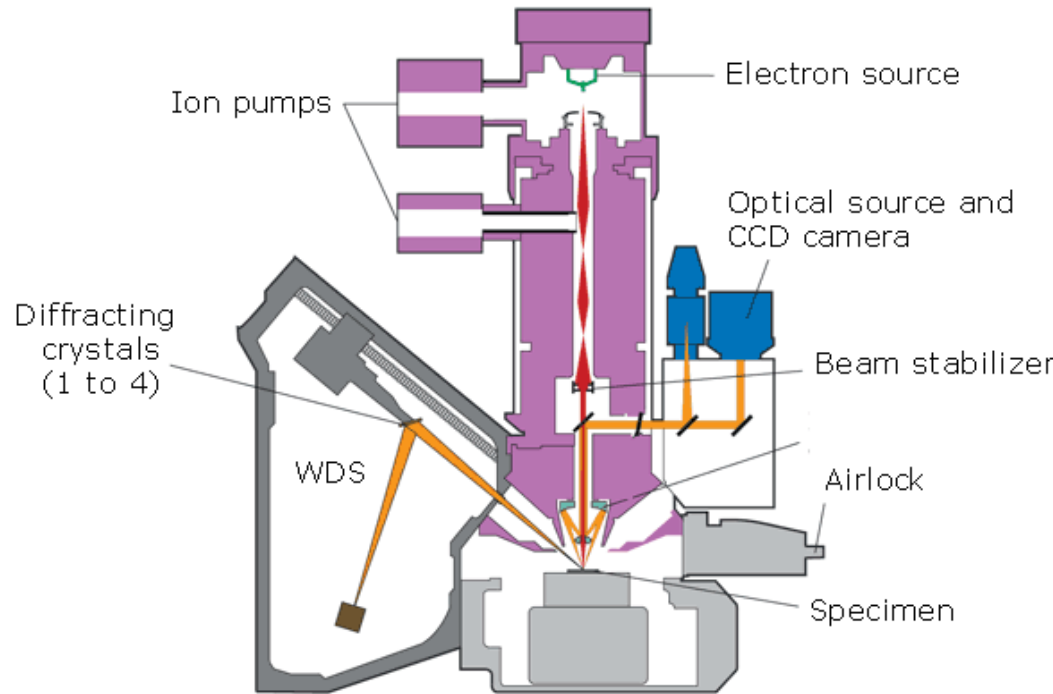
Preuzeto iz Sun et al. (2010): Structure determination of the zeolite IM5  
using electron crystallography. <https://doi.org/10.1524/zkri.2010.1204>



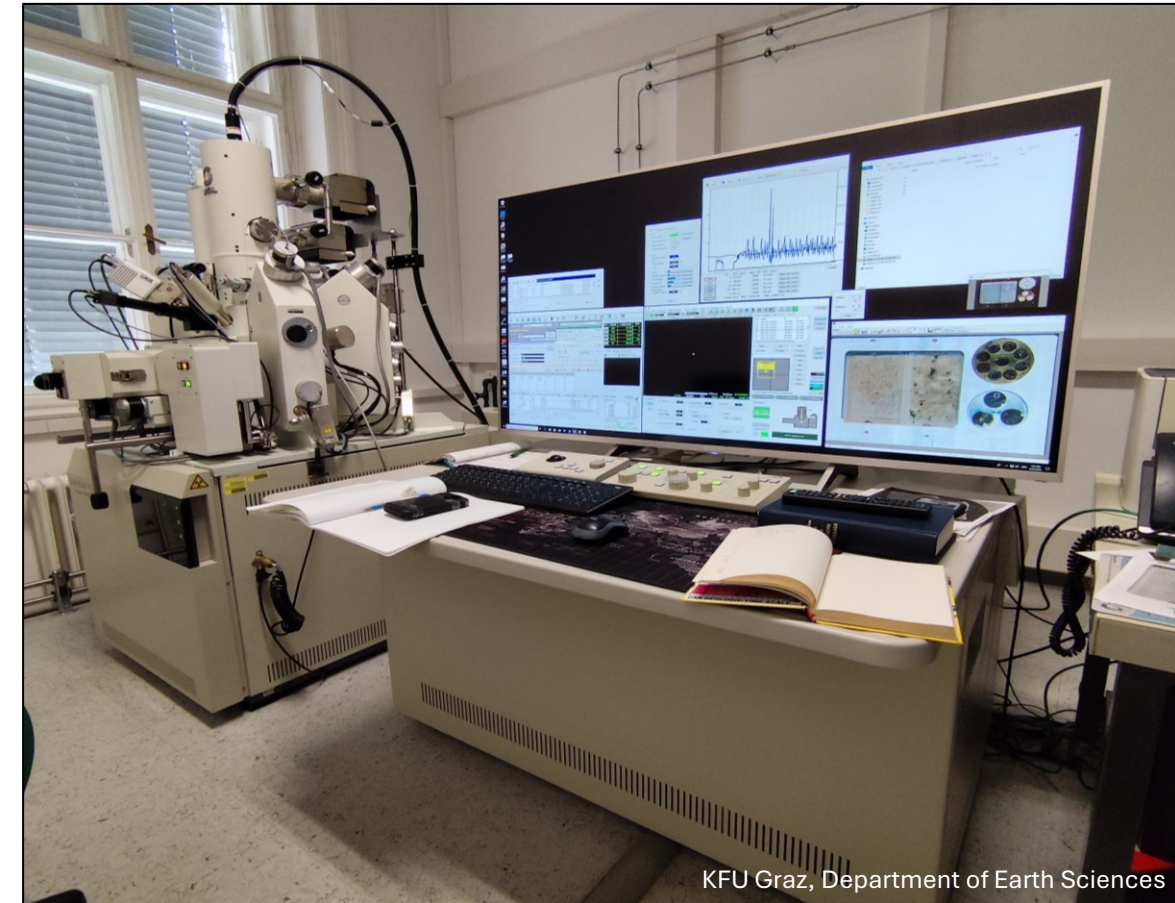
# Elektronska mikroskopija – EPMA

## Elektronska mikroproba/mikrosonda, EPMA (engl. *electron probe microanalyser*)

- određivanje kemijskog sastava  
→ bombardiranje uzorka snopom elektrona → interakcija s uzorkom → emisija X-zraka → detekcija signala → kemijski sastav
- uzorak: mikroskopski preparat, 2D (debljine 20–30  $\mu\text{m}$ <sup>\*</sup>)
- priprema uzorka: naparivanje ugljikom za provodljivost
- analiza u jednoj točki (1–3  $\mu\text{m}$ )



<https://www.cameca.com>



KFU Graz, Department of Earth Sciences

\* standardna debljina mikroskopskog preparata

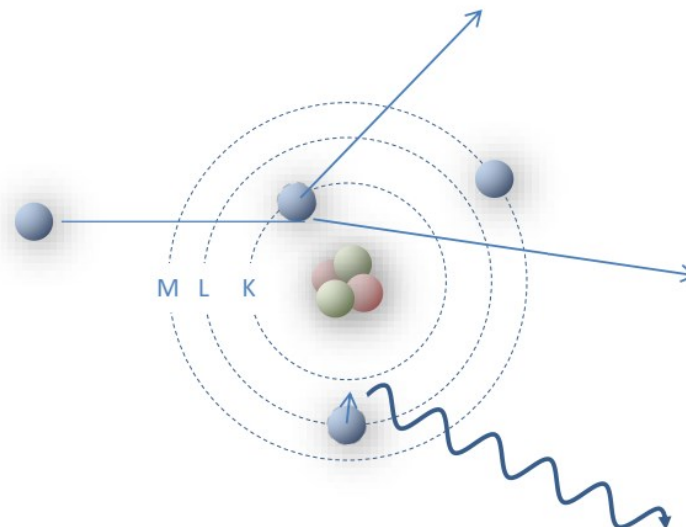
# Rendgenska fluorescencijska spektrometrija – XRF

**Spektrometrija fluorescencije rendgenskog zračenja**

**Rendgenska fluorescencijska spektrometrija**

**XRF**

- određivanje kemijskog sastava  
→ bombardiranje uzorka snopom elektrona → interakcija s uzorkom → emisija X-zraka → detekcija signala → prosječni kemijski sastav cijelog uzorka
- uzorak: stijena ili određena frakcija minerala
- priprema uzorka: mrvljenje uzorka u fini prah, prešanje ili taljenje i oblikovanje u staklenu tabletu → homogenizacija

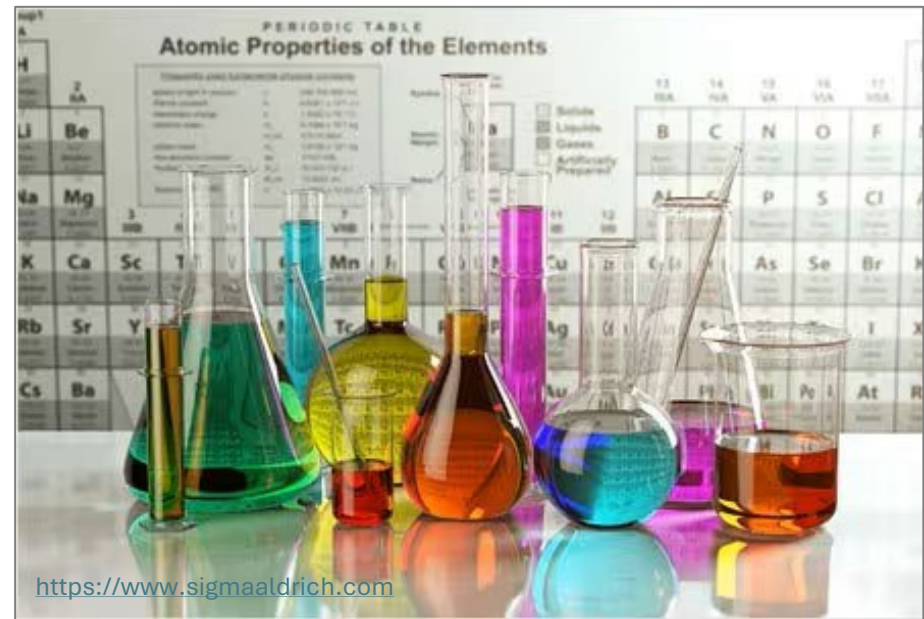


# „Mokra kemija”

## Kemijske analize mokrim postupkom

### „Mokra kemija”

- određivanje prosječnog kemijskog sastava
- uzorak: stijena ili određena frakcija minerala
- priprema uzorka:
  - dugotrajna (i do 2 tjedna!)  
→ otapanje uzorka u kiselinama ( $\text{HCl}$ ,  $\text{HNO}_3$ ,  $\text{H}_2\text{SO}_4$  ili  $\text{HF}$ ) → dodavanje različitih reagensa → promatranje kemijskih reakcija → određivanje udjela pojedinih oksida ( $\text{SiO}_2$ ,  $\text{Al}_2\text{O}_3$ ,  $\text{MgO}$ ,  $\text{Na}_2\text{O}$ ,  $\text{K}_2\text{O}$ ,  $\text{CaO}$ ,  $\text{FeO}$ ,  $\text{Fe}_2\text{O}_3$ , ...)
  - analize: gravimetrijska  
volumetrijska  
kolorimetrijska  
...



# Interakcija elektrona s materijalom – sažetak

